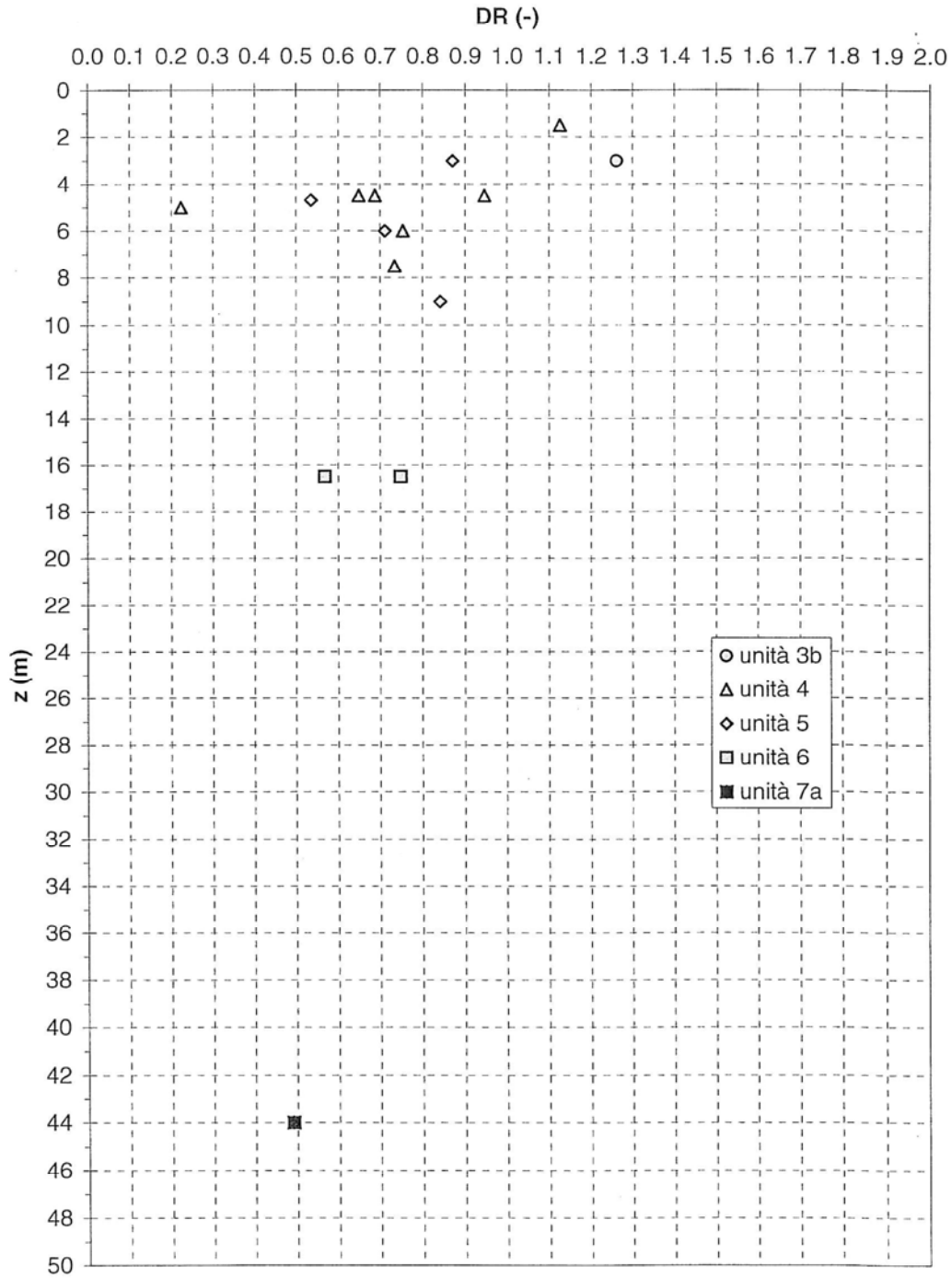


**FIGURE**

PROVE SPT: interpretazione  $D_R$  con la profondità – terreni granulari

Figura 6.1

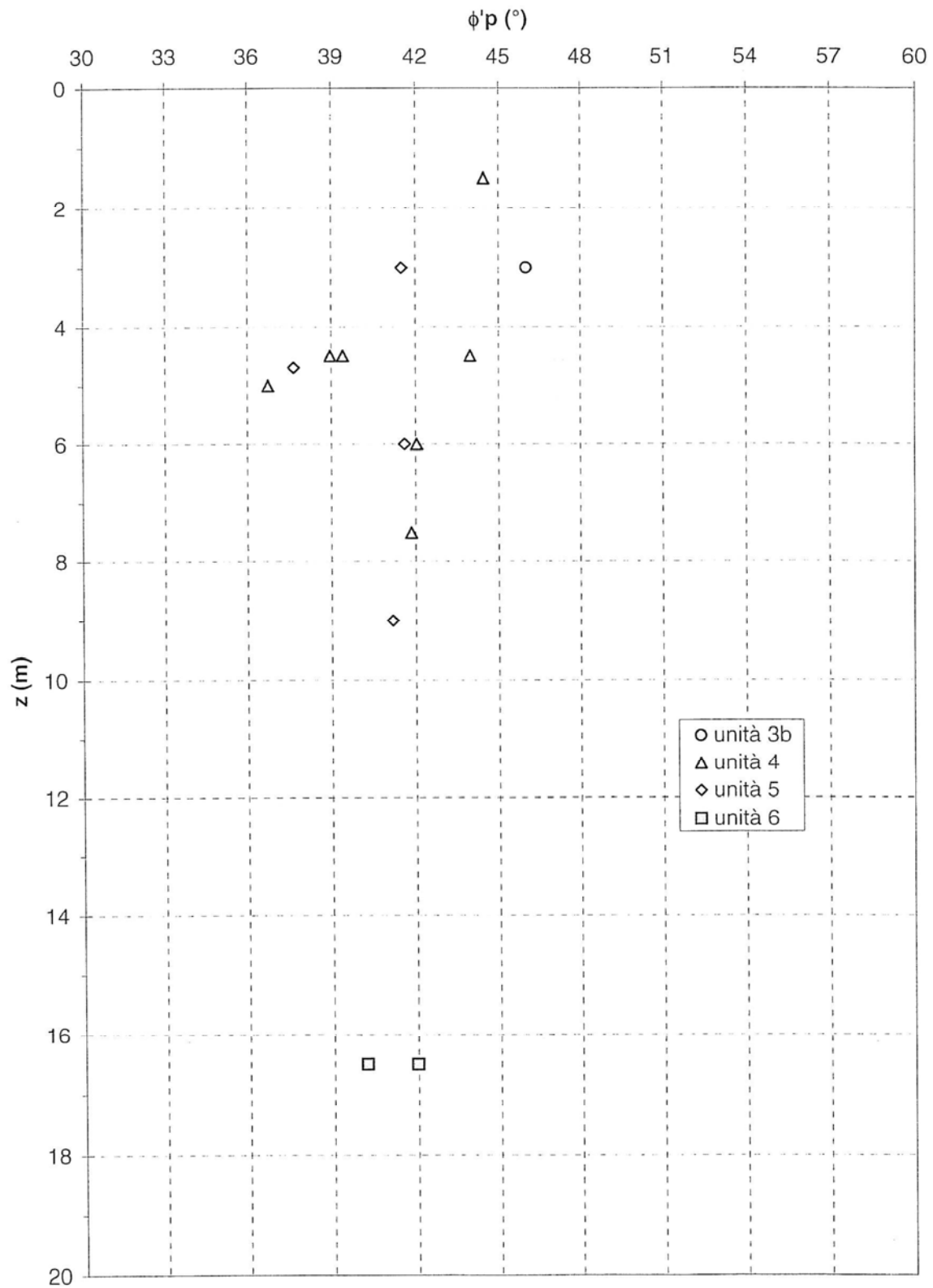


NOTA: Dall'interpretazione sono esclusi i valori corrispondenti a Rifiuto

PROVE SPT: interpretazione  $\phi'_p$  secondo SCHMERTMANN (1978b) con la profondità

terreni granulari

Figura 6.2



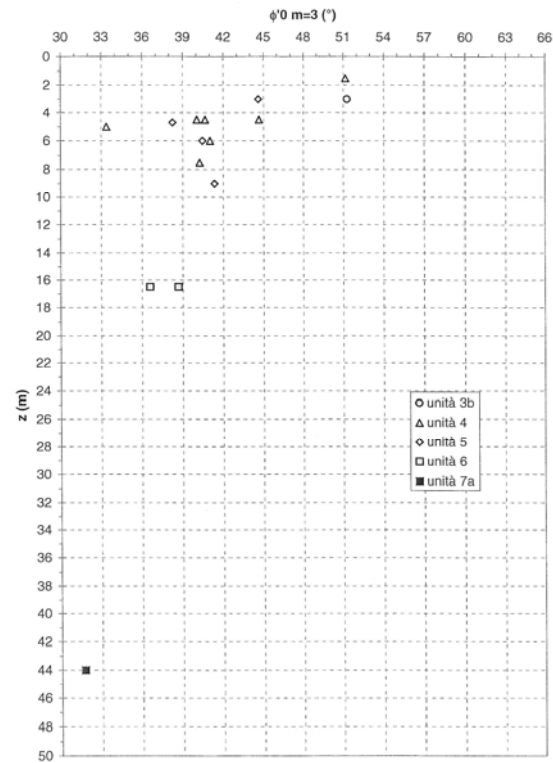
NOTA: Dall'interpretazione sono esclusi i valori corrispondenti a Rifiuto



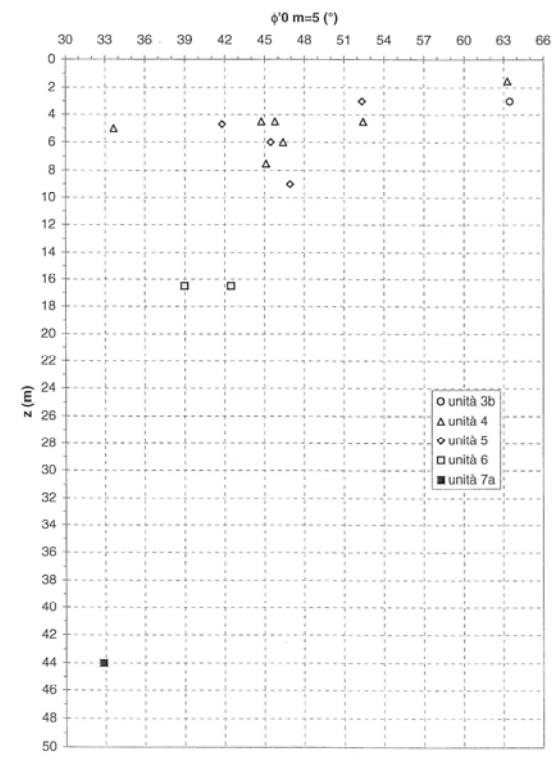
PROVE SPT: interpretazione  $\phi'_0$  secondo BOLTON con la profondità – terreni granulari

Figura 6.3

a) m=3



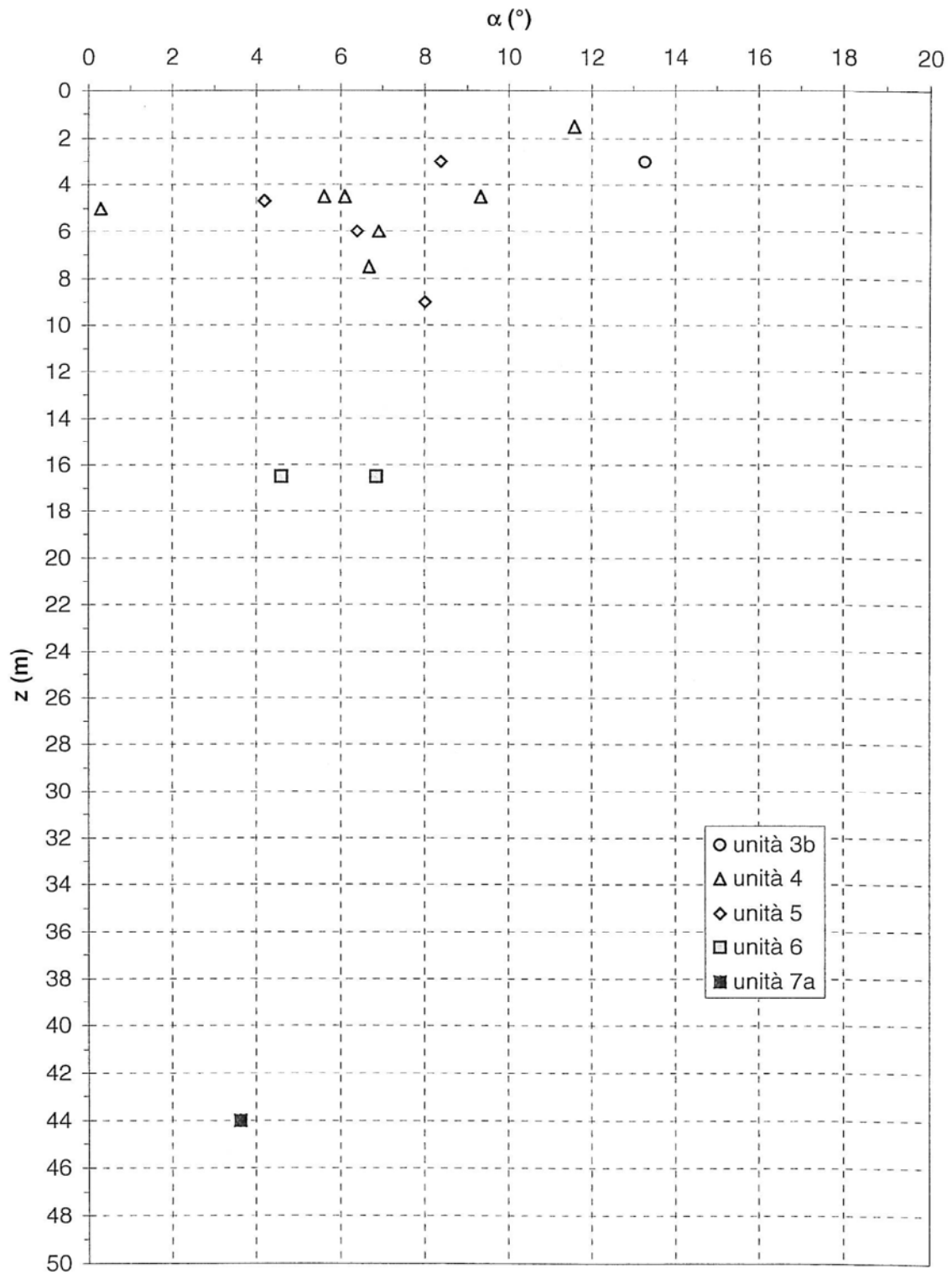
b) m=5



NOTA: Dall'interpretazione sono esclusi i valori corrispondenti a Rifiuto

PROVE SPT: Parametro  $\alpha$  (Jamiolkowski et al. 1988) con la profondità – terreni granulari

Figura 6.4



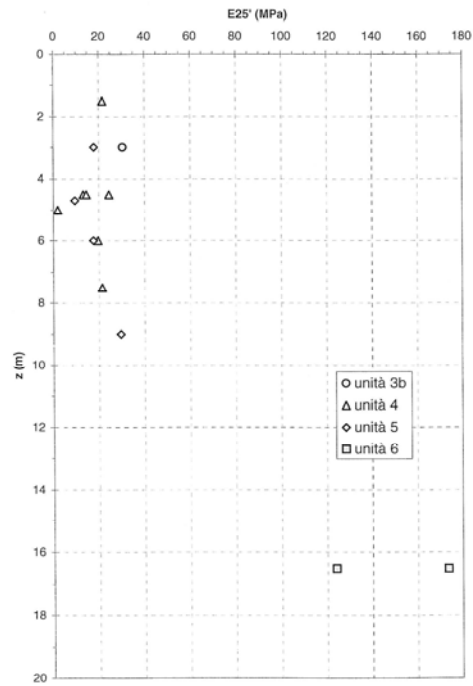
NOTA: Dall'interpretazione sono esclusi i valori corrispondenti a Rifiuto



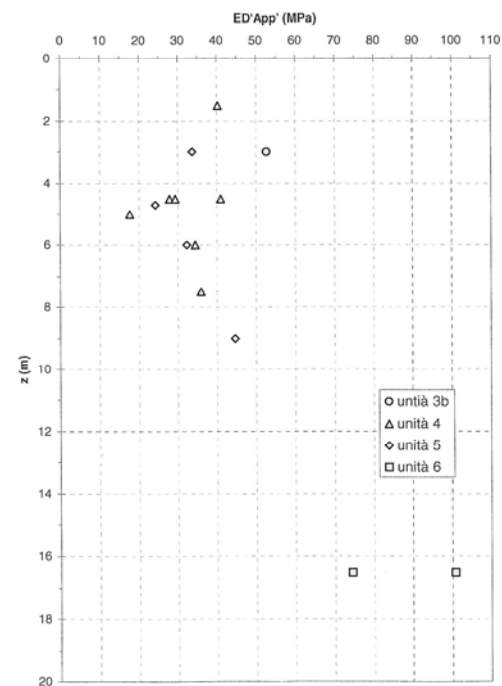
PROVE SPT: Parametro  $\alpha$  (Jamiolkowski et al. 1988) con la profondità – terreni granulari

Figura 6.5

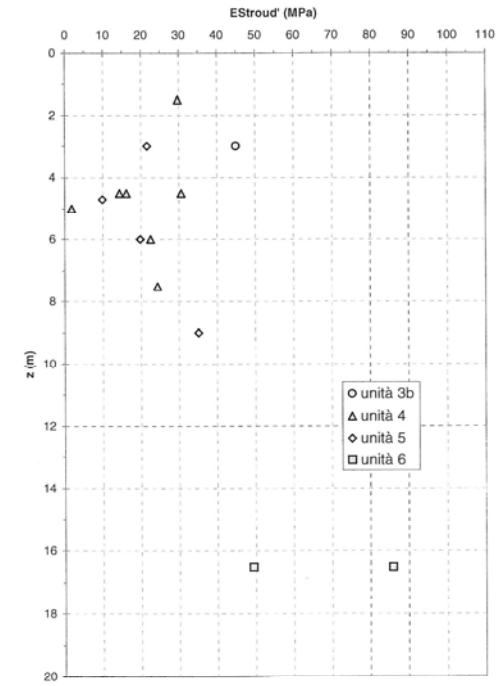
a)  $E_{25}'$  (Jamiolkowski et al., 1988)



b)  $E'$  (D'Appolonia, 1968, 1970)



c)  $E'$  (Stroud, 1988)



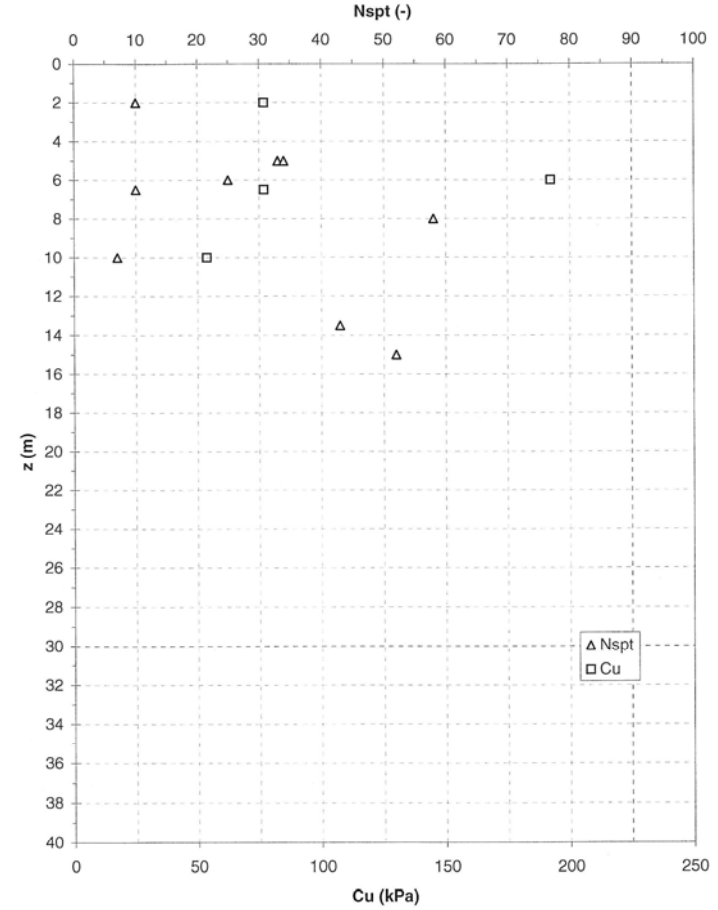
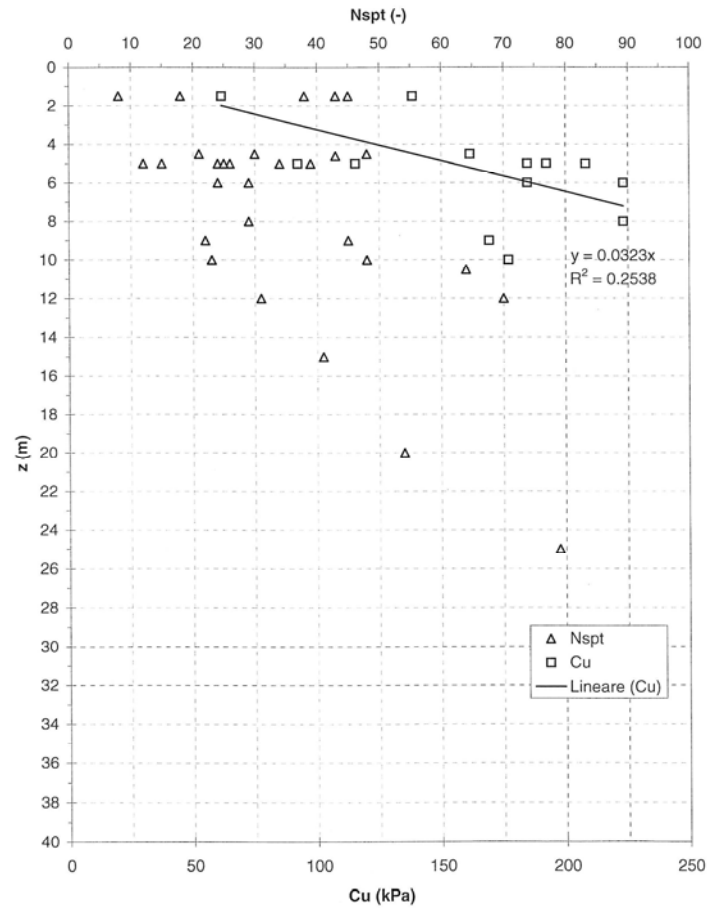
NOTA: Dall'interpretazione sono esclusi i valori corrispondenti a Rifiuto

PROVE SPT: Valori di NSPT con la profondità – terreni coesivi – Unità 4 e 5

Figura 6.6

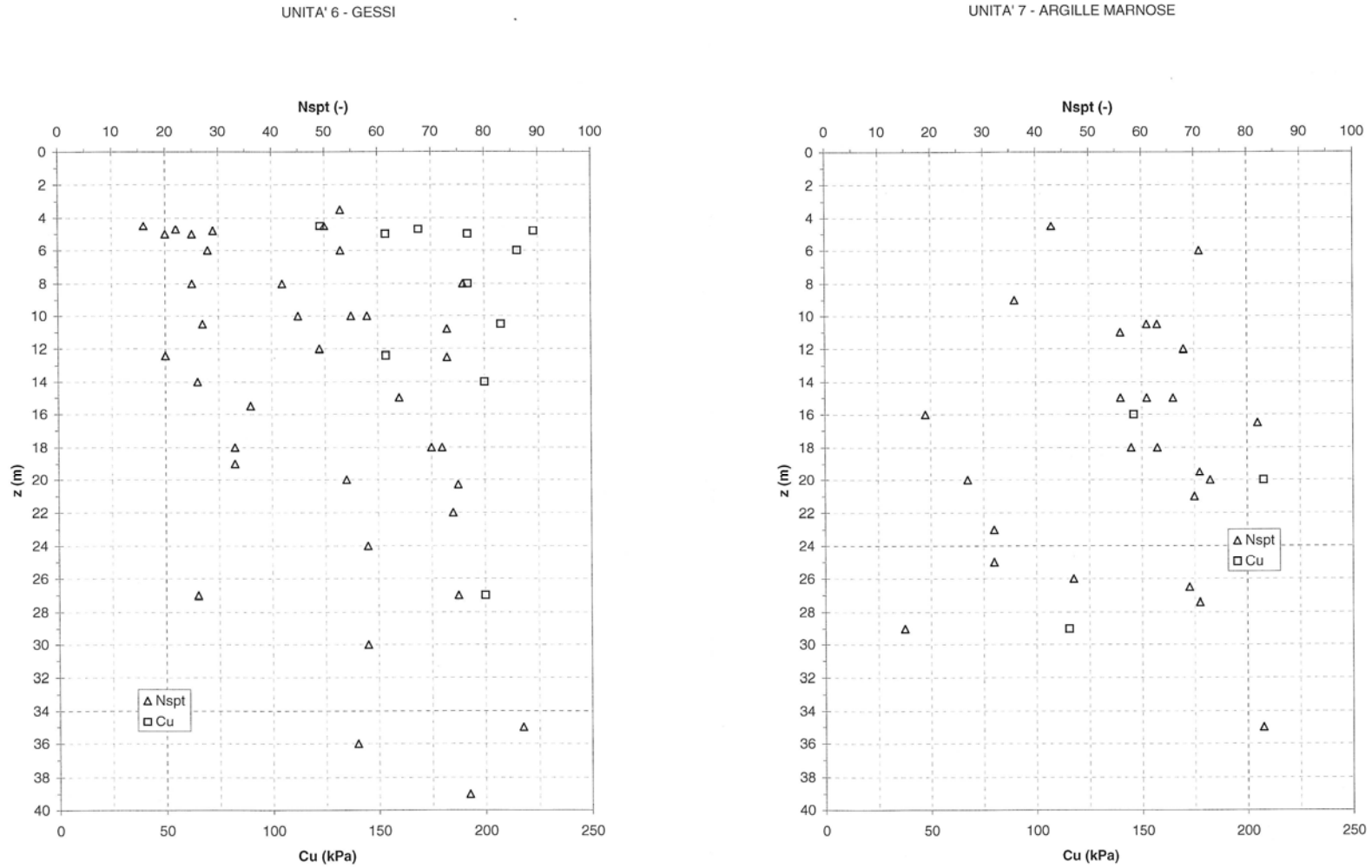
UNITA' 4 - COPERTURE ACCUMULI DI FRANA E COLTRI DI TERRENO RIMANEGGIATO

UNITA' 5 - LIMI SABBIOSI SOVRAPPOSTI ALL'UNITA' GESSOSA



PROVE SPT: Valori di NSPT con la profondità – terreni coesivi – Unità 6 e 7

Figura 6.7



PROVE PRESSIOMETRICHE : Modulo pressiométrico  $E_p$  con la profondità – Unità 6 - gessi

Figura 6.8

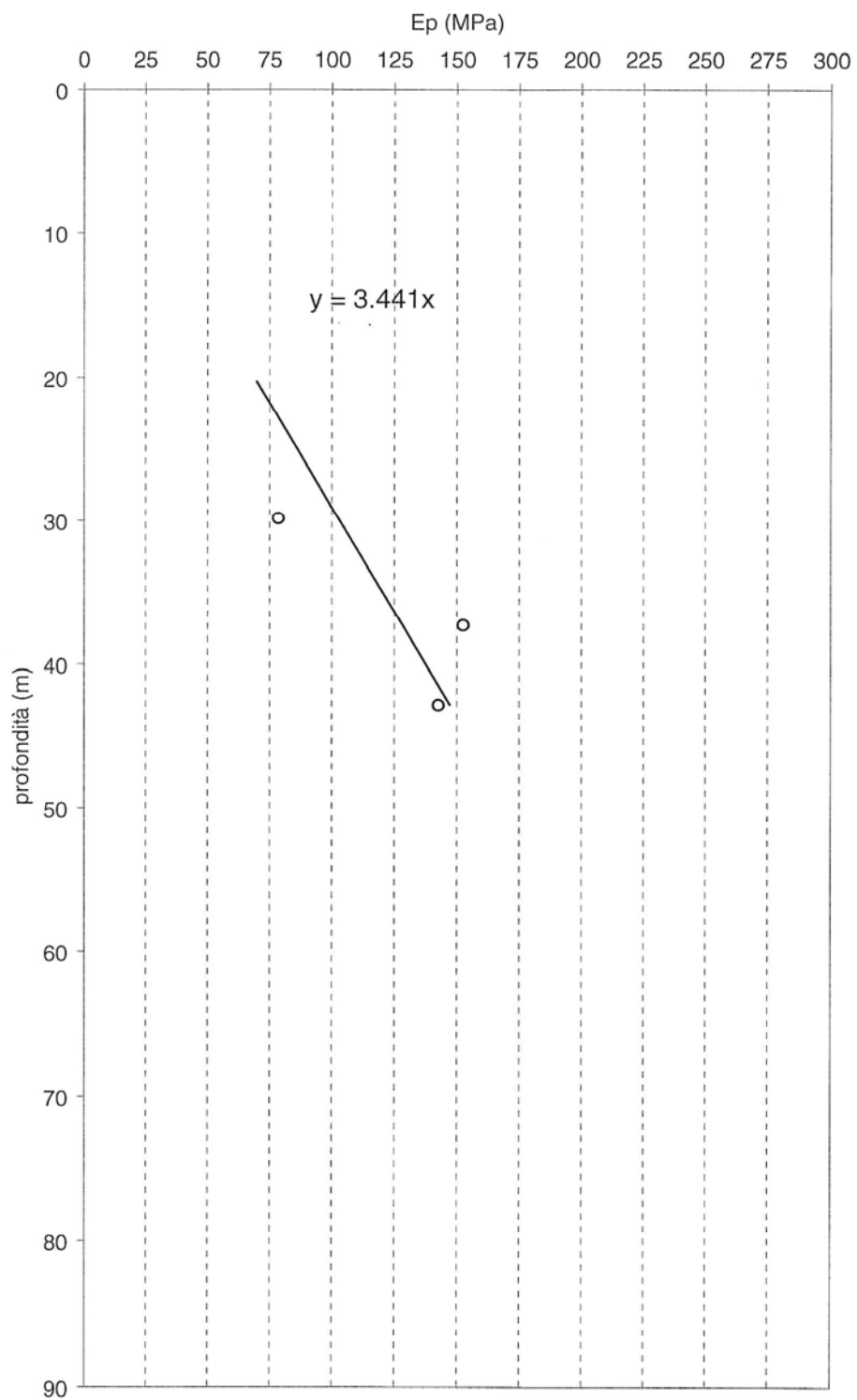
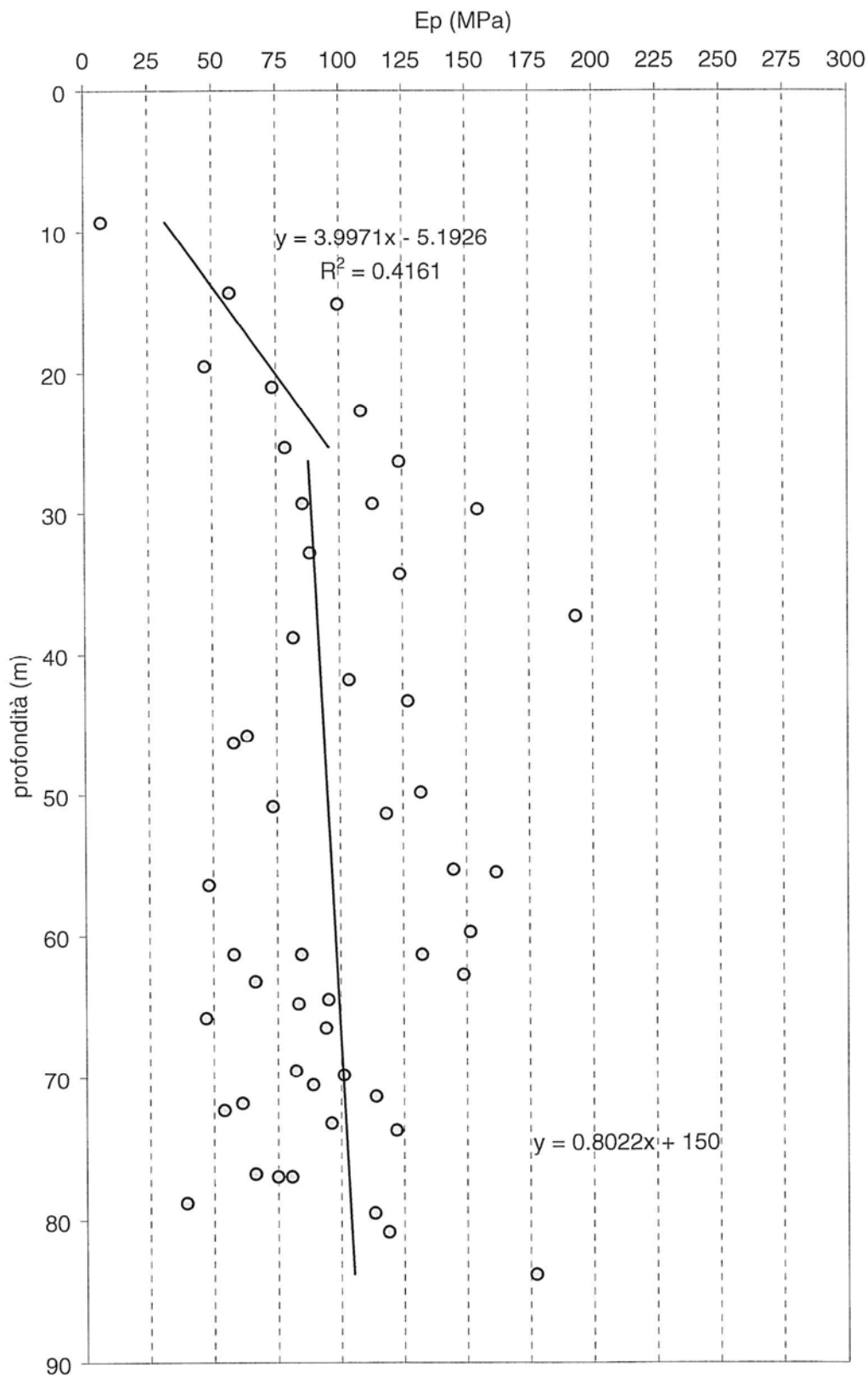


Figura 6.9



PROVE PRESSIOMETRICHE : Modulo pressiométrico  $E_p$  con la prof. – Unità 7 – argille marnose

(Suddivisione in base alle progressive)

Figura 6.10

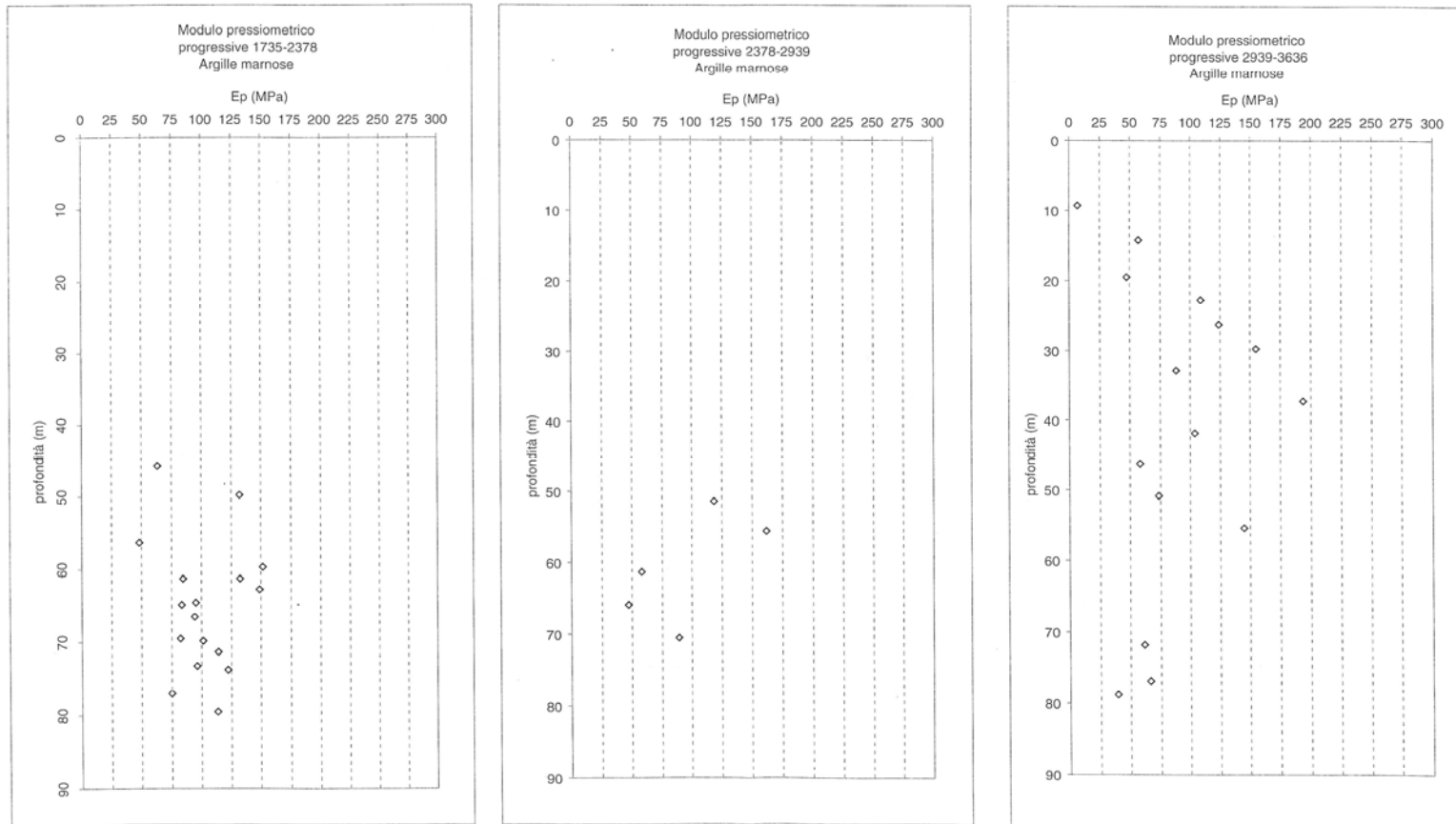


Figura 6.11

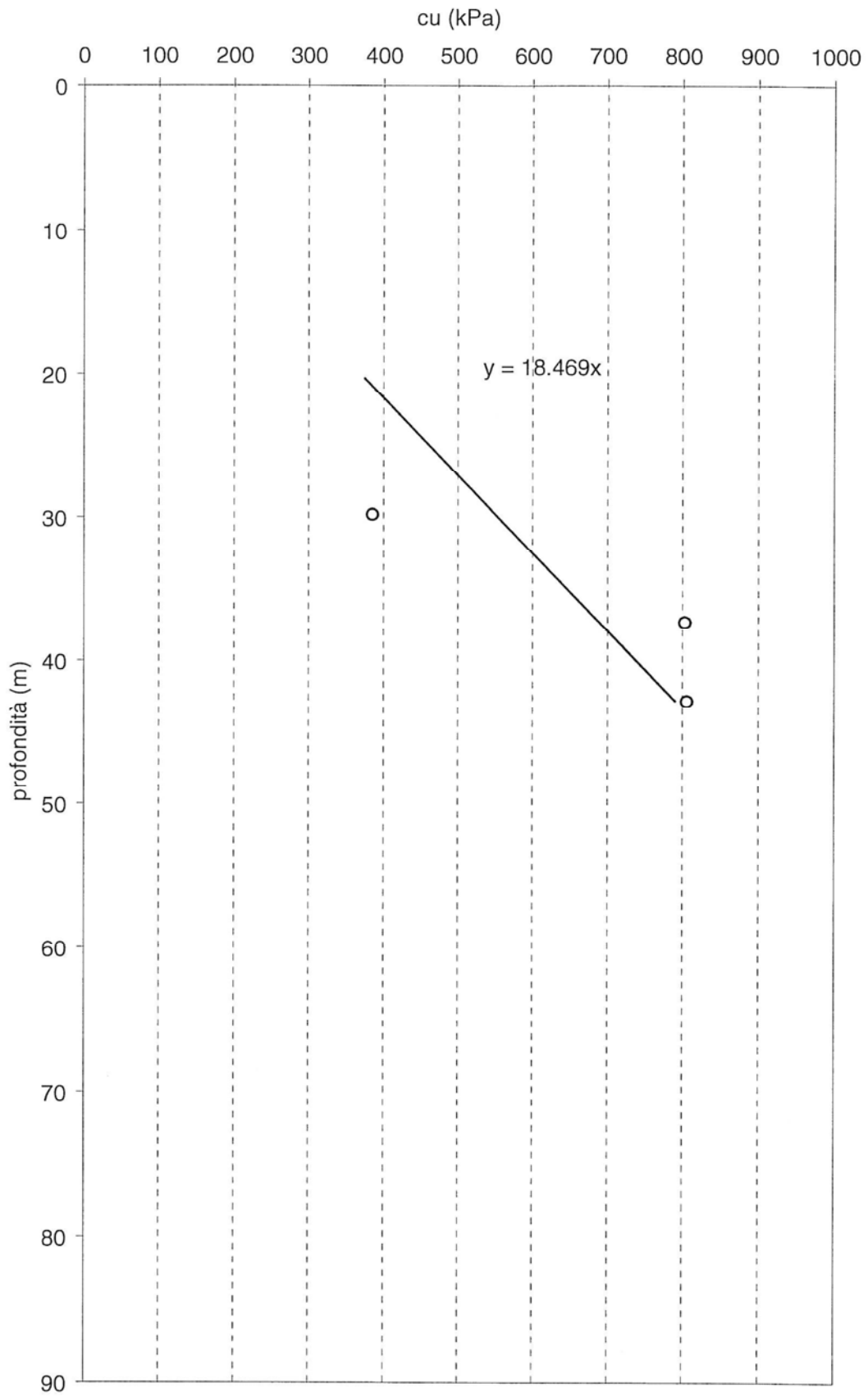
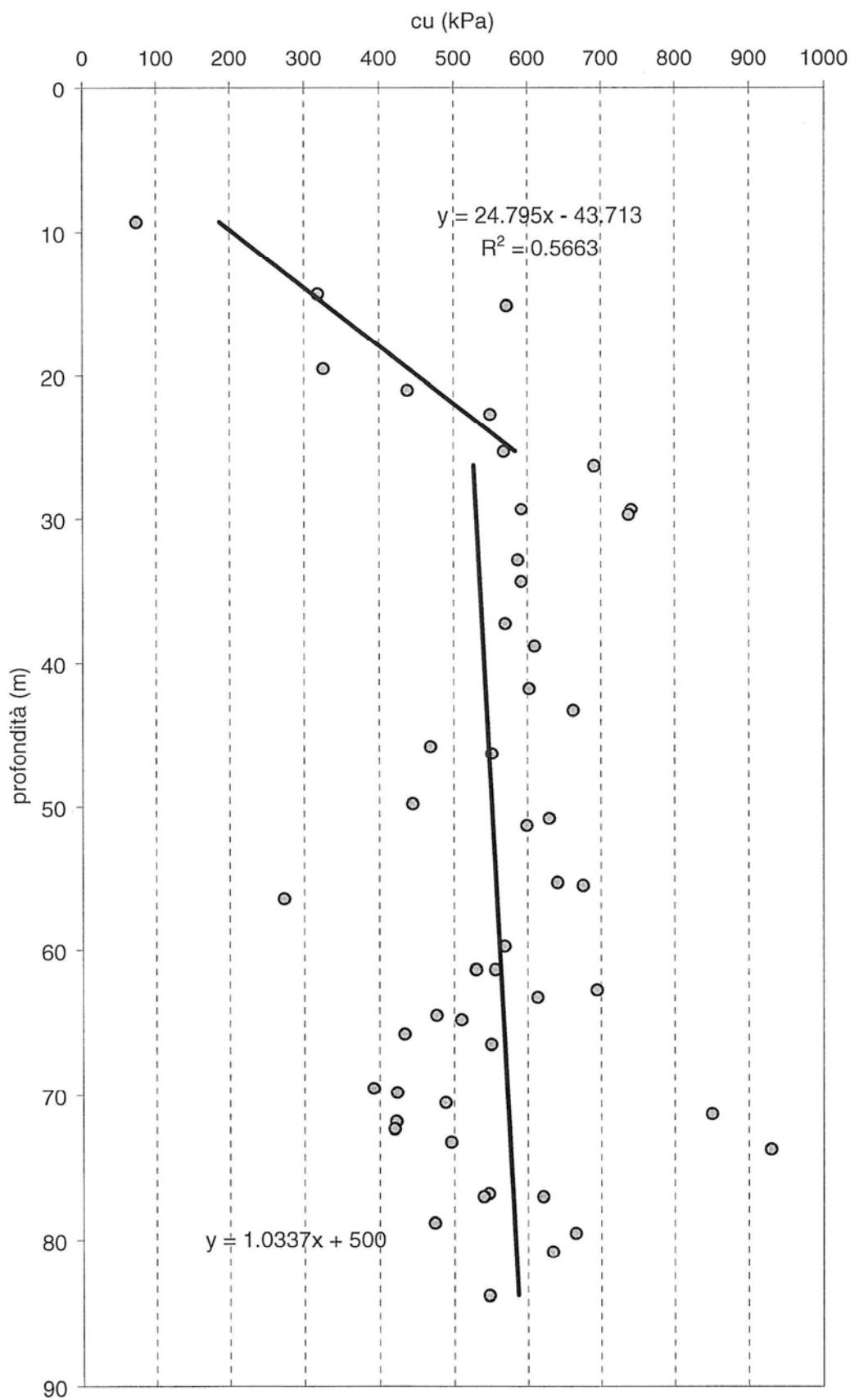


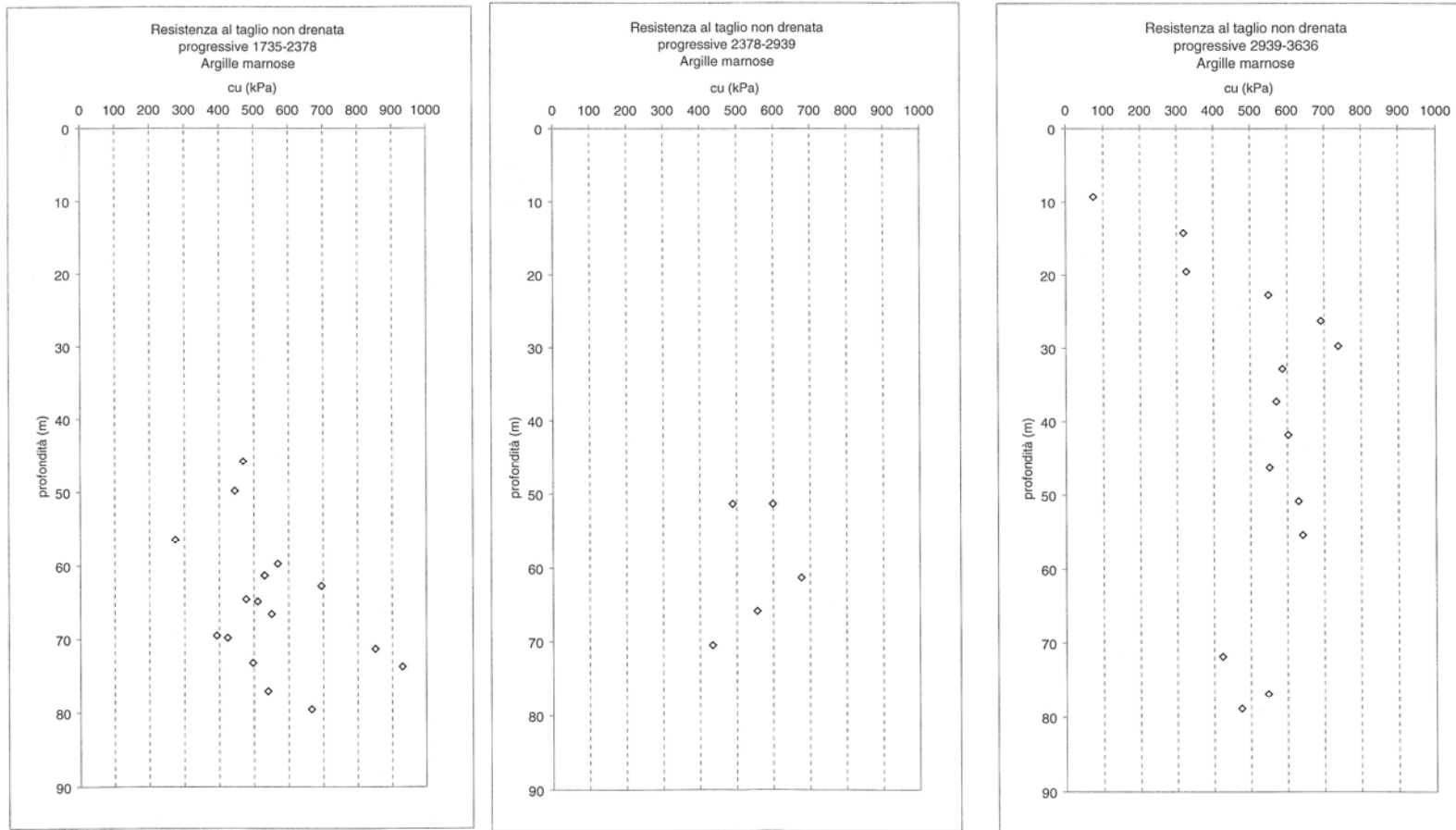
Figura 6.12



PROVE PRESSIOM.: Resist. al taglio non drenata  $c_u$  con la prof. – Unità 7 – argille marnose

(Suddivisione secondo le progressive)

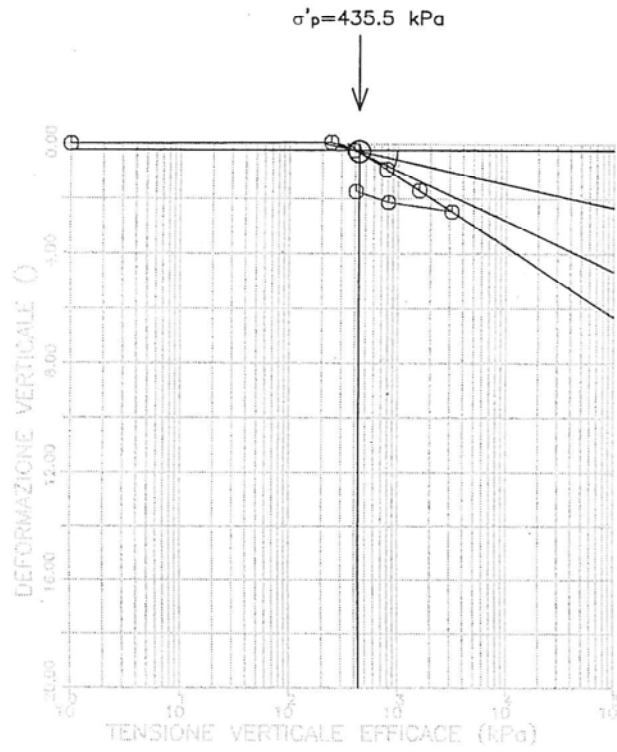
Figura 6.13



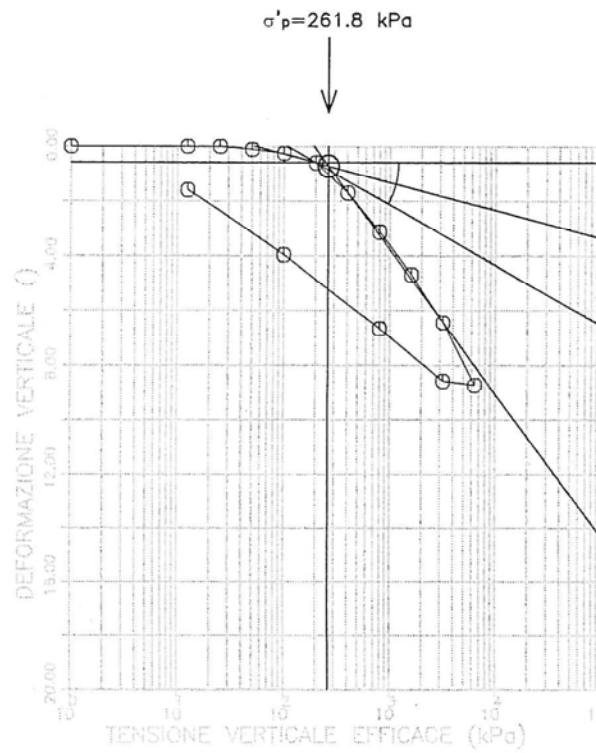
PROVE EDOMETRICHE: Determinazione di  $\sigma'_p$

Figura 6.14

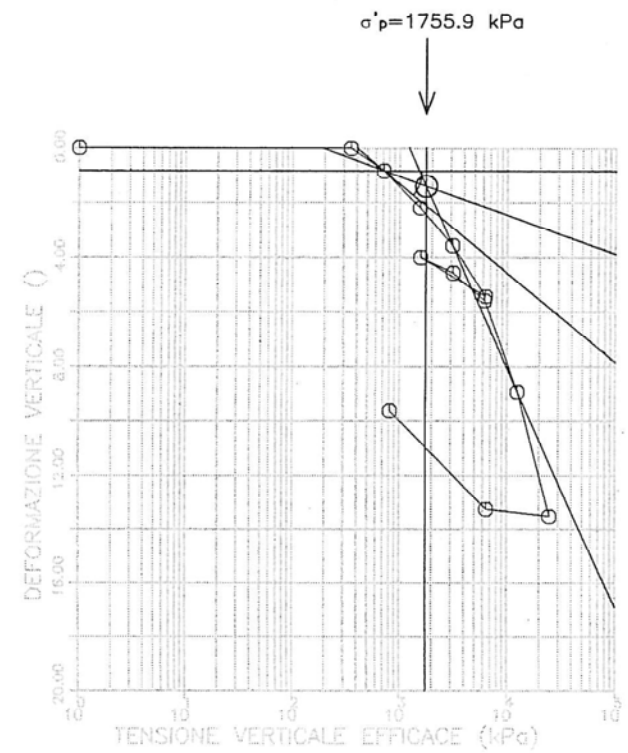
(SFG - 01) - camp. 2 - UNITA' 7



(SFG - 01) - camp. 3 - UNITA' 7



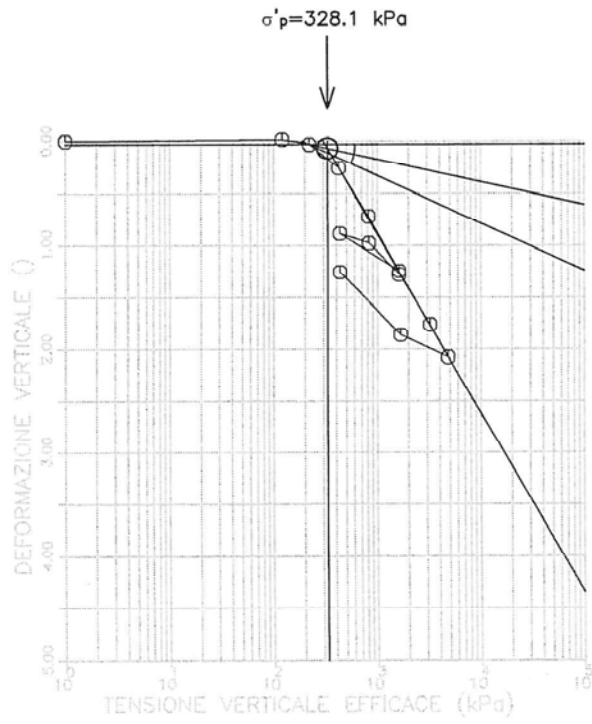
(SFG - 02) - camp. 2 - UNITA' 7



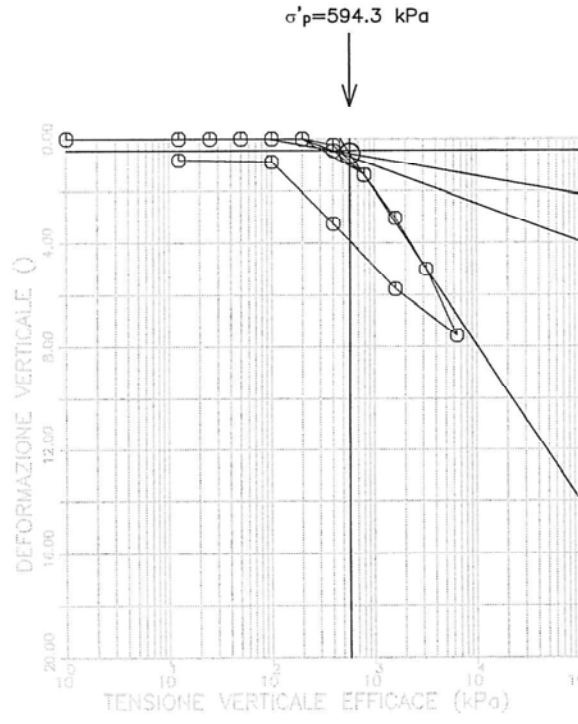
PROVE EDOMETRICHE: Determinazione di  $\sigma'_p$

Figura 6.15

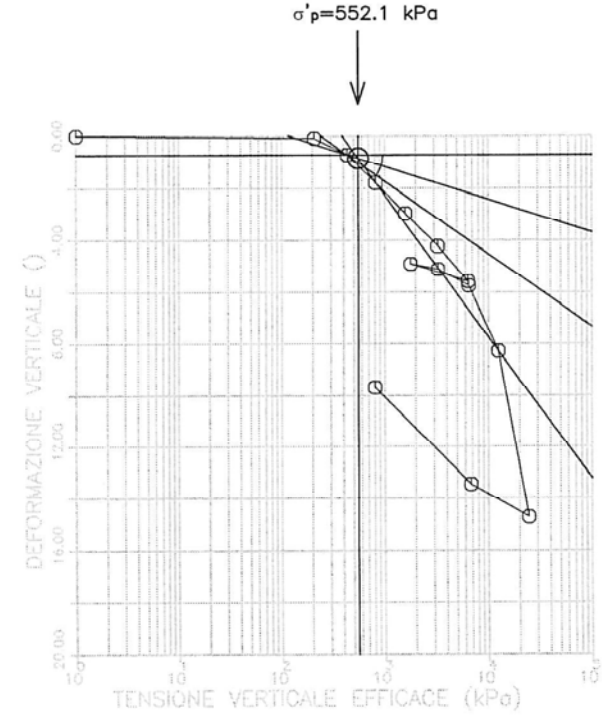
(SFG - 03) - camp. 3 - UNITA' 7



(SFG - 06) - camp. 4 - UNITA' 7



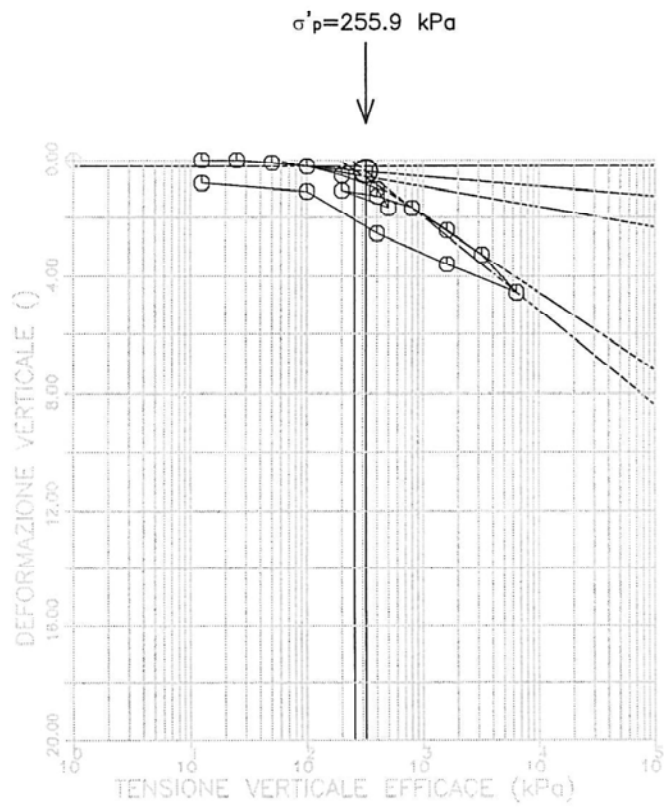
(SFG - 06) - camp. 7 - UNITA' 7



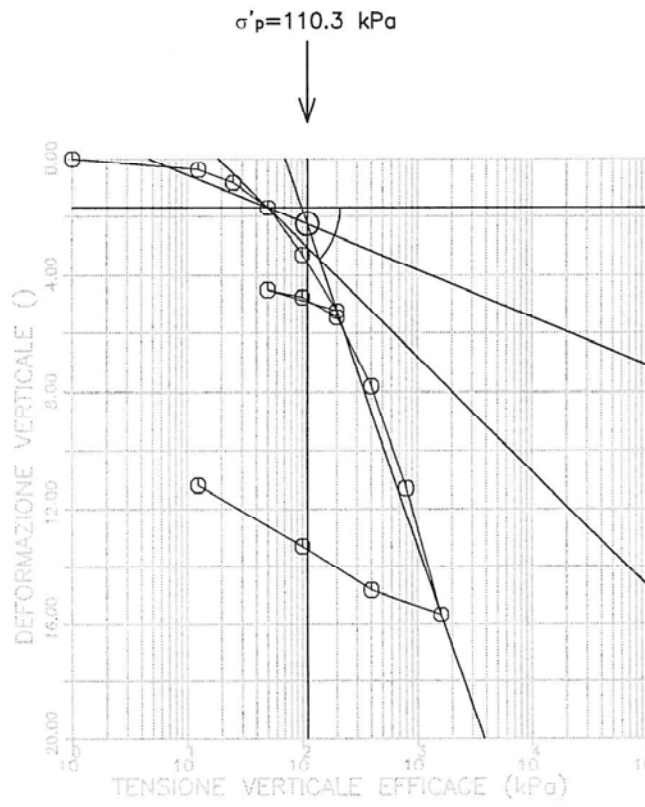
PROVE EDOMETRICHE: Determinazione di  $\sigma'_p$

Figura 6.16

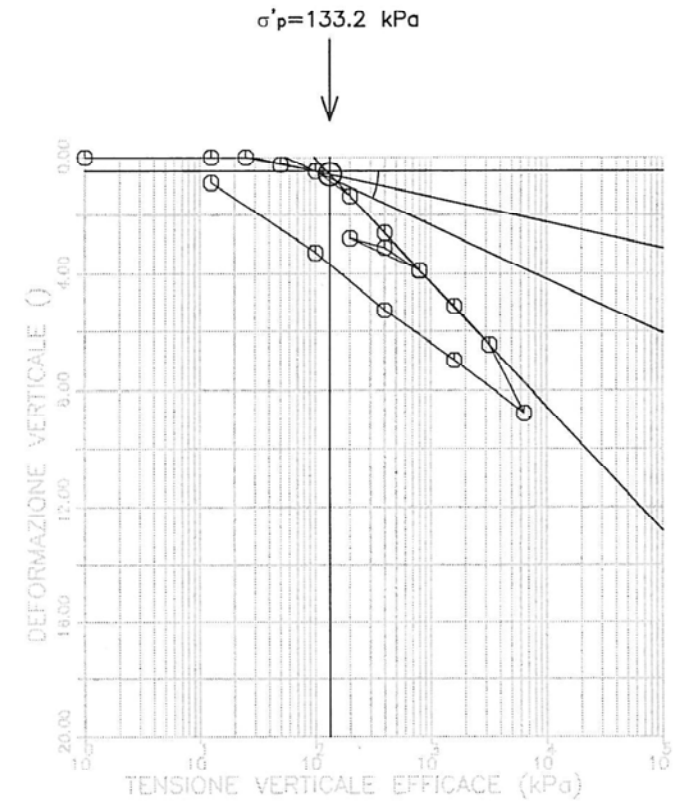
(SFG - 08) - camp. 2 - UNITA' 7



(SFG - 09) - camp. 1 - UNITA' 5



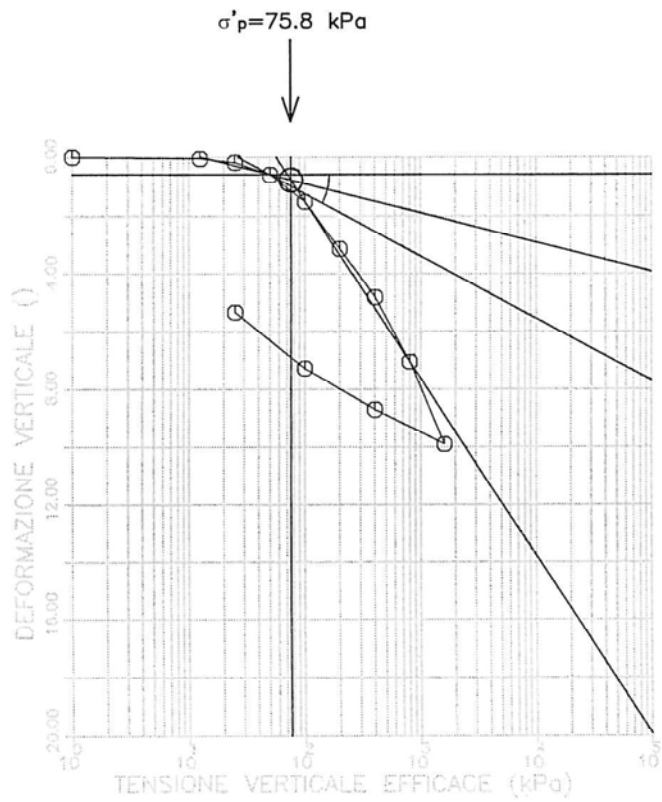
(SFG - 11) - camp. 1 - UNITA' 7



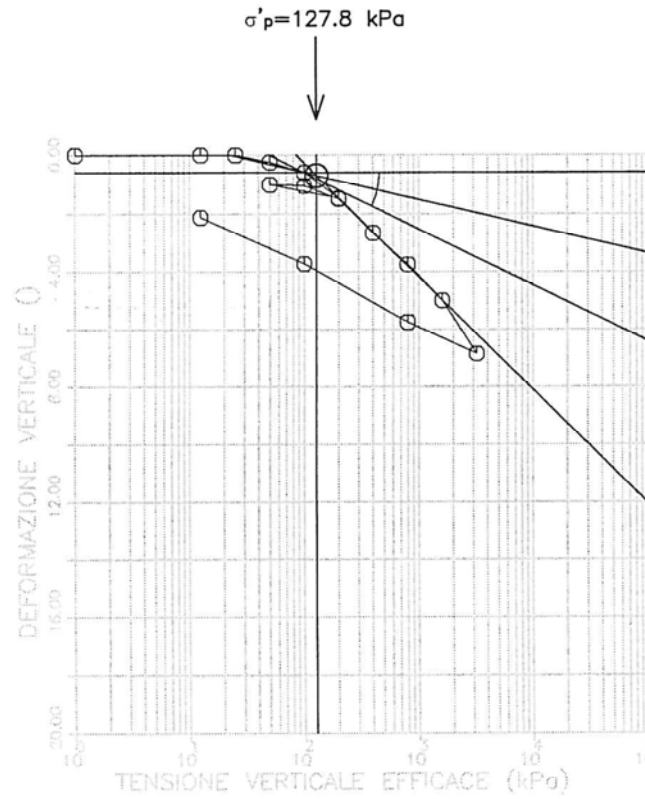
PROVE EDOMETRICHE: Determinazione di  $\sigma'_p$

Figura 6.17

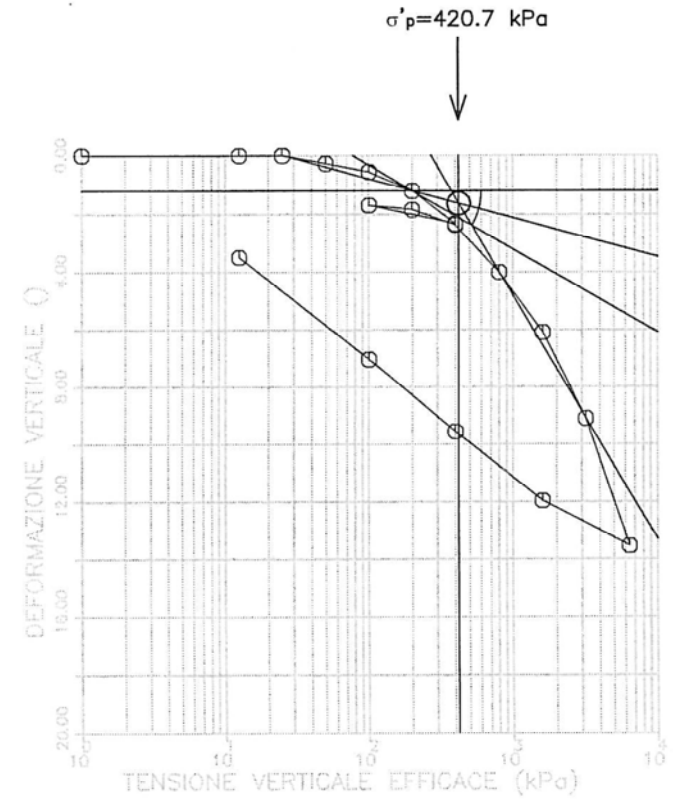
(SFG - 21) - camp. 2 - UNITA' 4



(SFG - 22) - camp. 2 - UNITA' 7



(SFG - 24) - camp. 2 - UNITA' 6

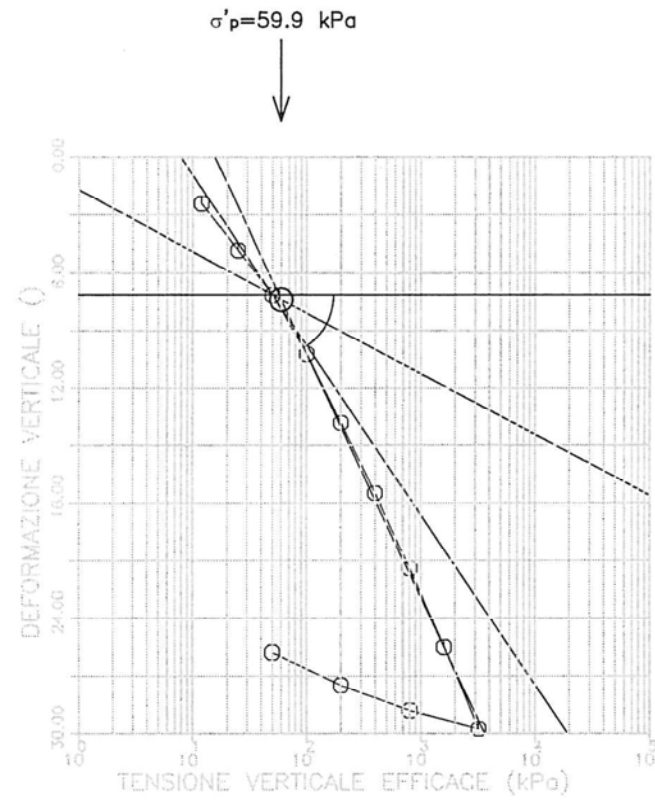
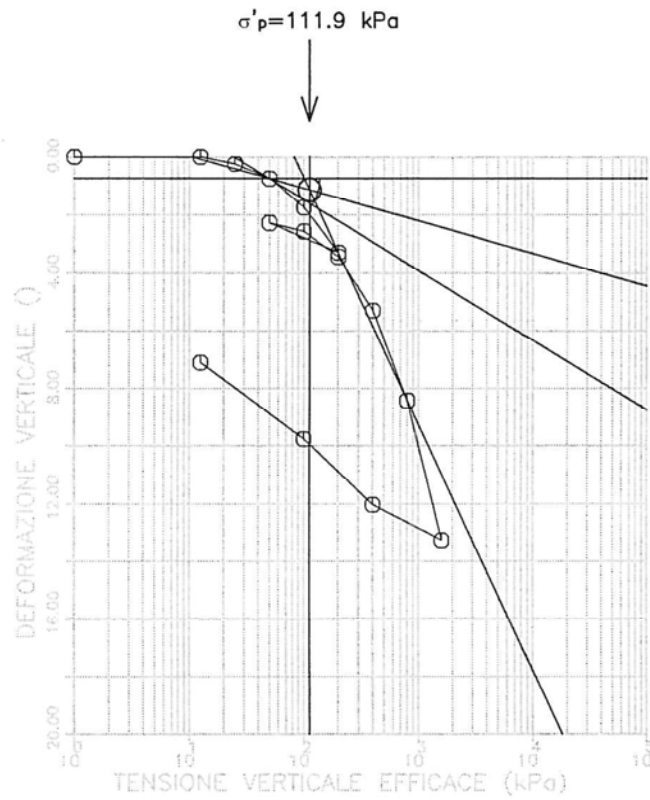


PROVE EDOMETRICHE: Determinazione di  $\sigma'_p$

Figura 6.18

(SFG - 25) - camp. 1 - UNITA' 5

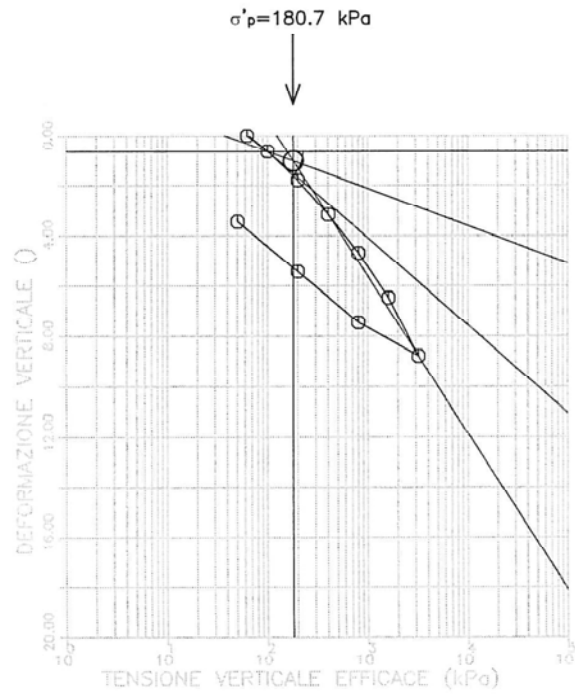
(SPD26 - 09) - camp. 1 - UNITA' 3b



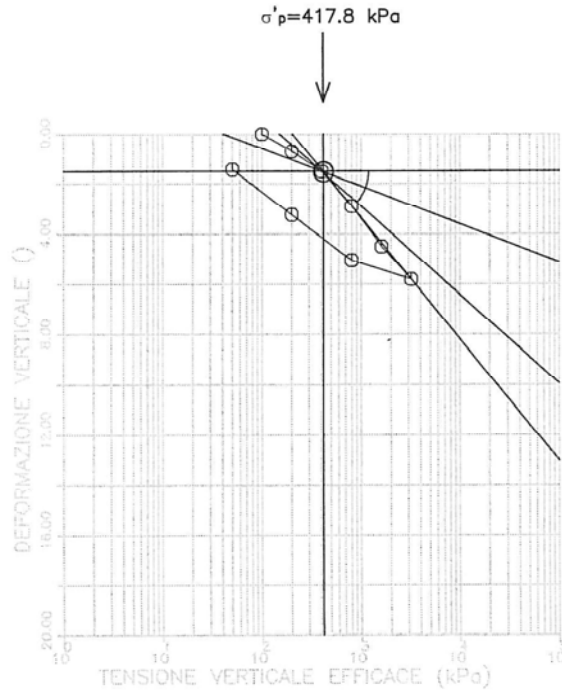
PROVE EDOMETRICHE: Determinazione di  $\sigma'_p$

Figura 6.19

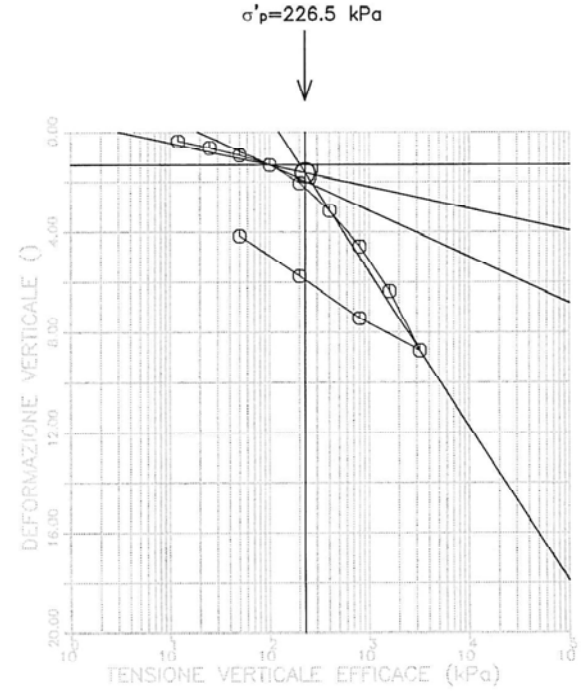
(SPD26 - 04) - camp. 1 - UNITA' 6



(SPD26 - 04) - camp. 2 - UNITA' 6



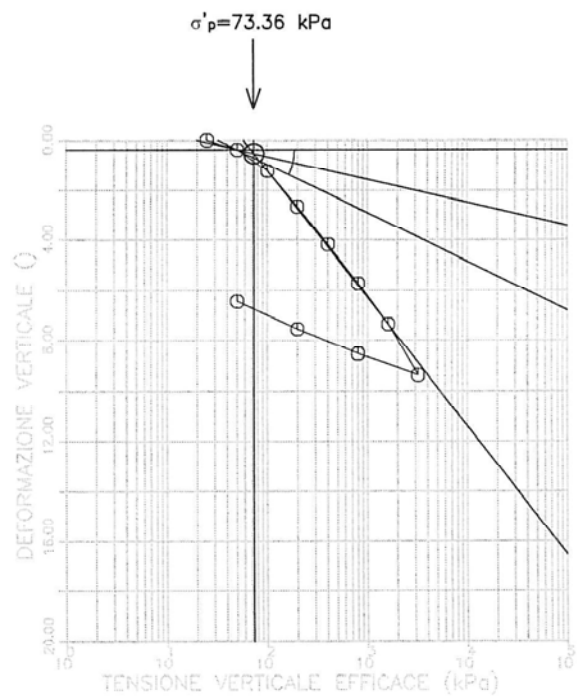
(SPD26 - 05) - camp. 1 - UNITA' 6



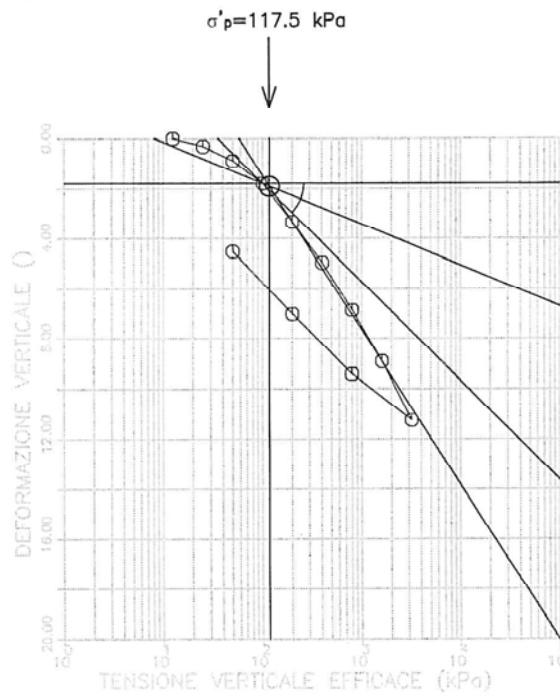
# PROVE EDOMETRICHE: Determinazione di $\sigma'_p$

## Figura 6.20

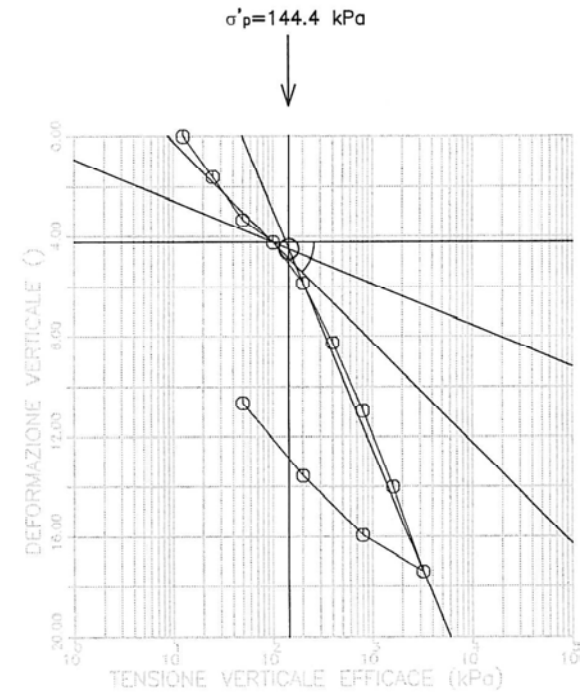
(SPD26 - 06) - camp. 1 - UNITA' 6



(SPD26 - 06) - camp. 2 - UNITA' 6



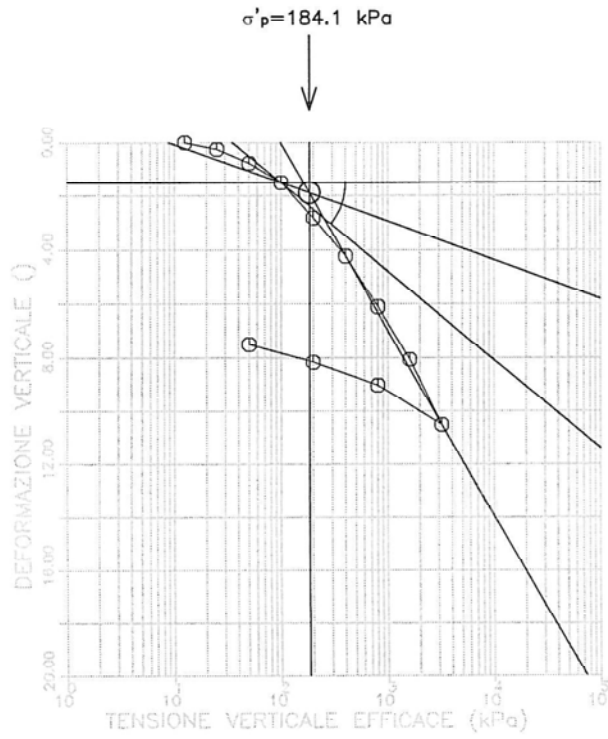
(SPD26 - 07) - camp. 1 - UNITA' 7



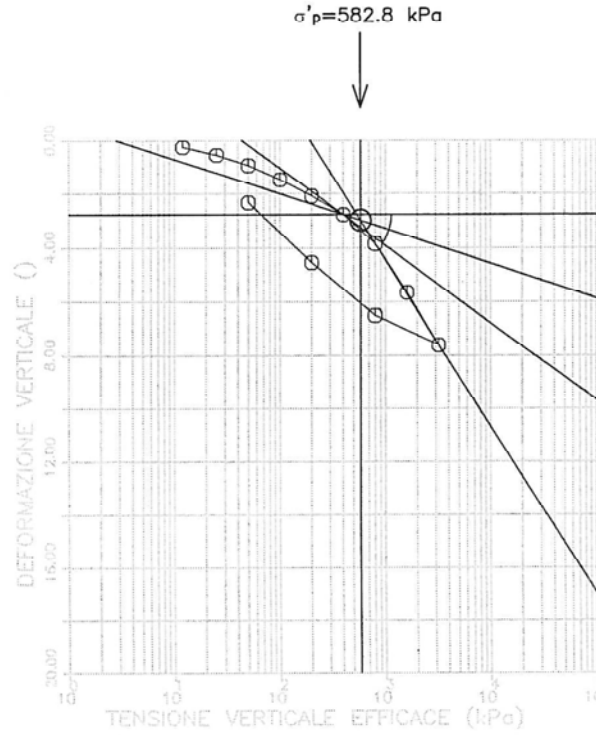
PROVE EDOMETRICHE: Determinazione di  $\sigma'_p$

Figura 6.21

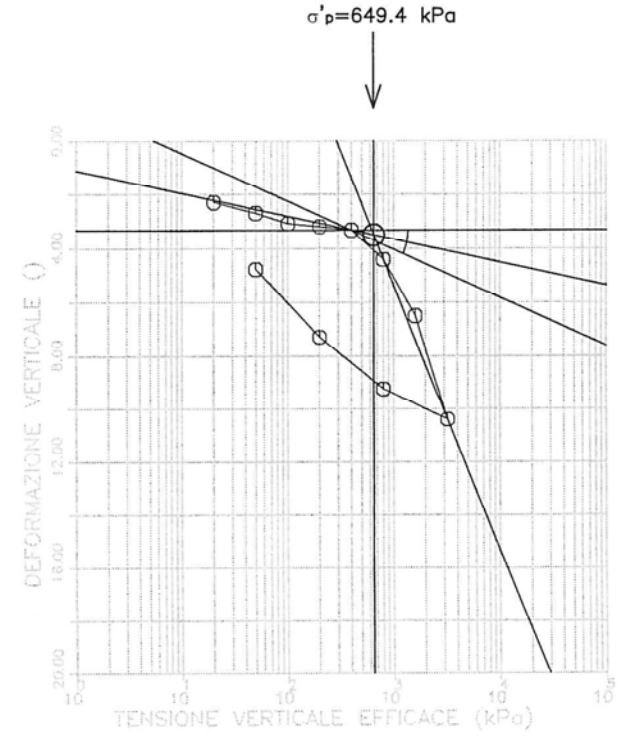
(SPD26 - 07) - camp. 2 - UNITA' 7



(SPD26 - 10) - camp. 1 - UNITA' 7



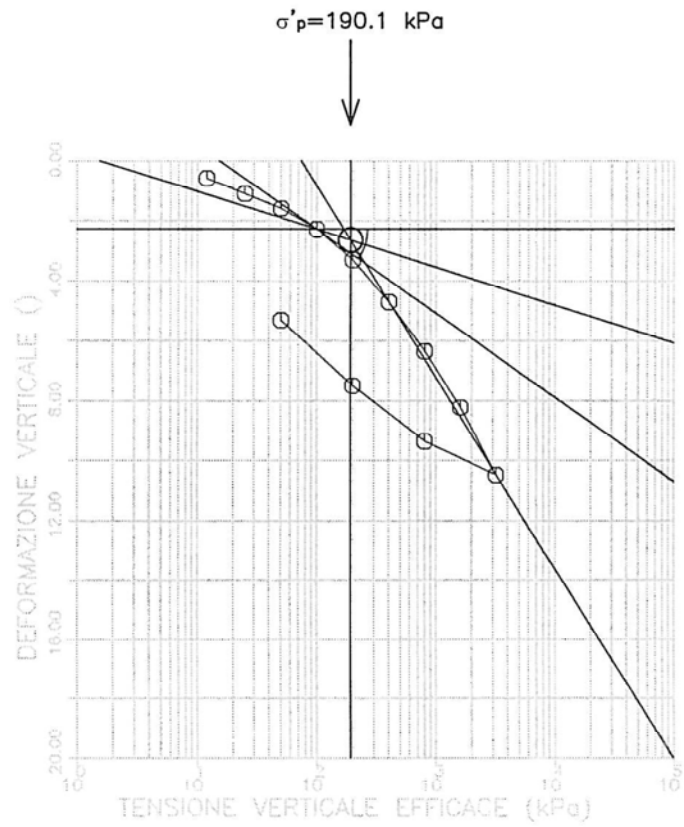
(SPD26 - 10) - camp. 2 - UNITA' 7



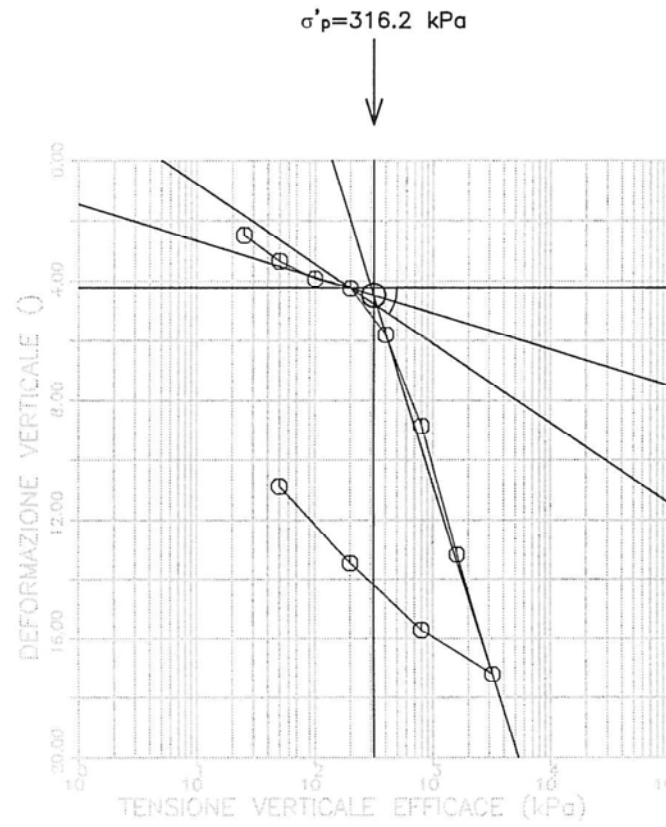
PROVE EDOMETRICHE: Determinazione di  $\sigma'_p$

Figura 6.22

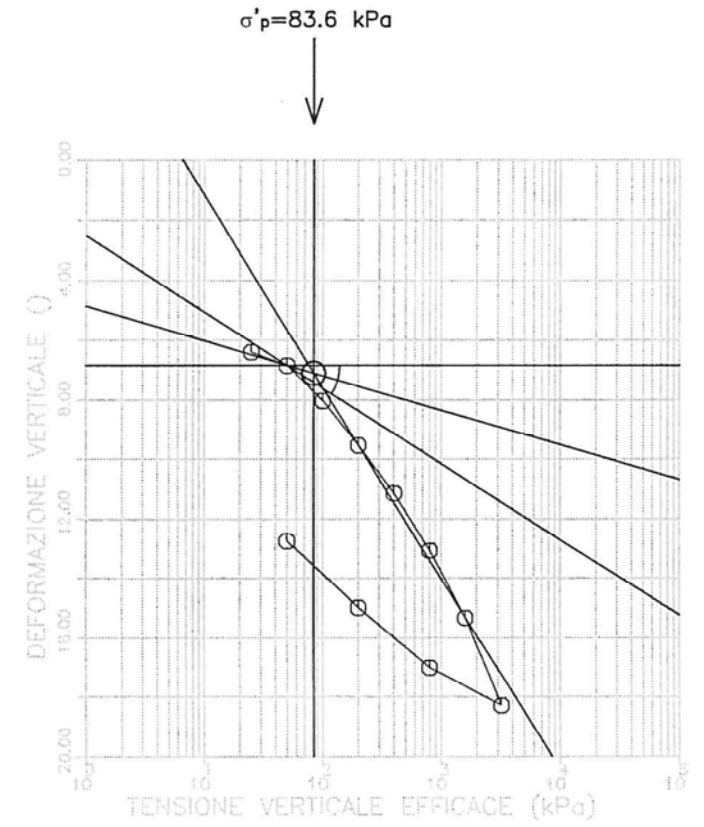
(SPD26 - 11) - camp. 1 - UNITA' 7



(SPD26 - 12) - camp. 1 - UN ITA' 7



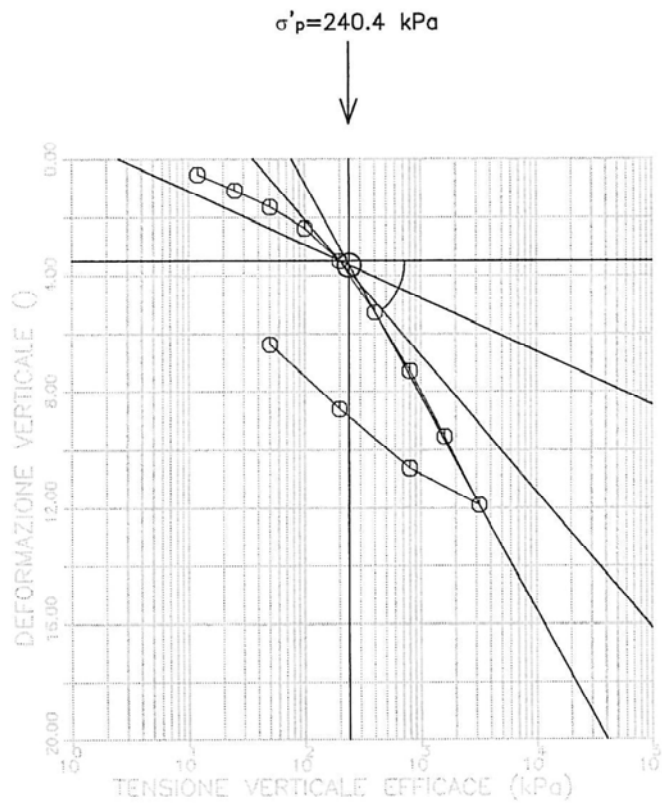
(SPD26 - 13) - camp. 1 - UNITA' 7



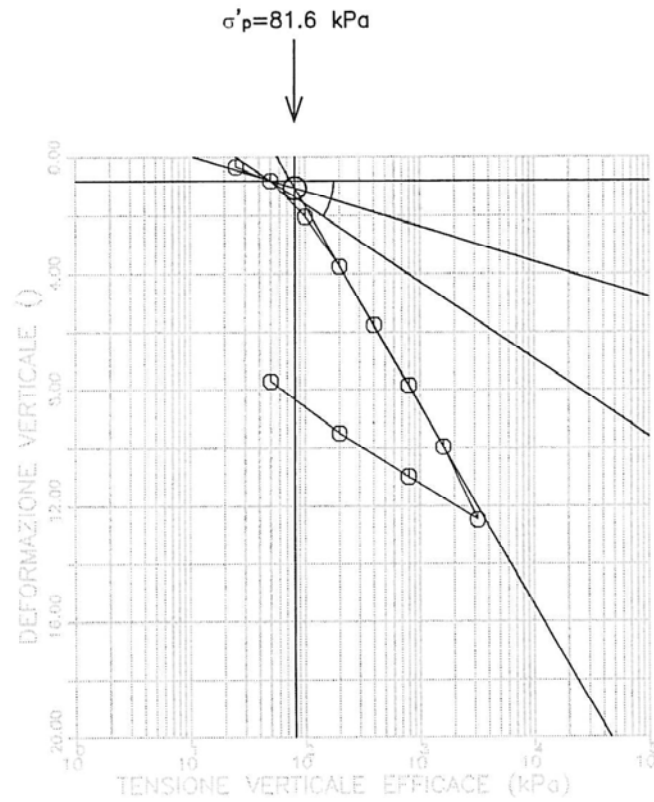
PROVE EDOMETRICHE: Determinazione di  $\sigma'_p$

Figura 6.23

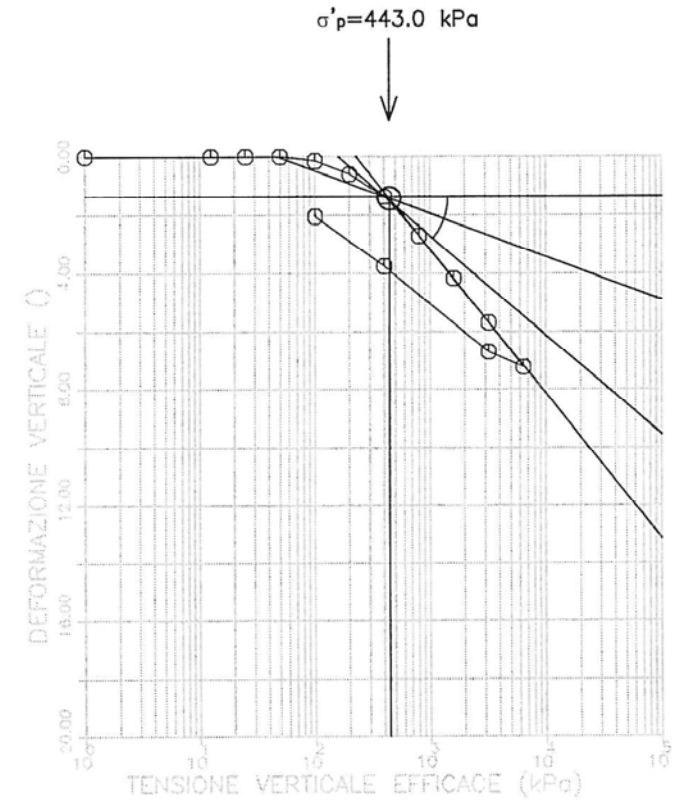
(SPD26 - 14) - camp. 1 - UNITA' 7



(SPD26 - 16) - camp. 1 - UNITA' 7



(SPE26-01) - camp. 1 - UNITA' 7

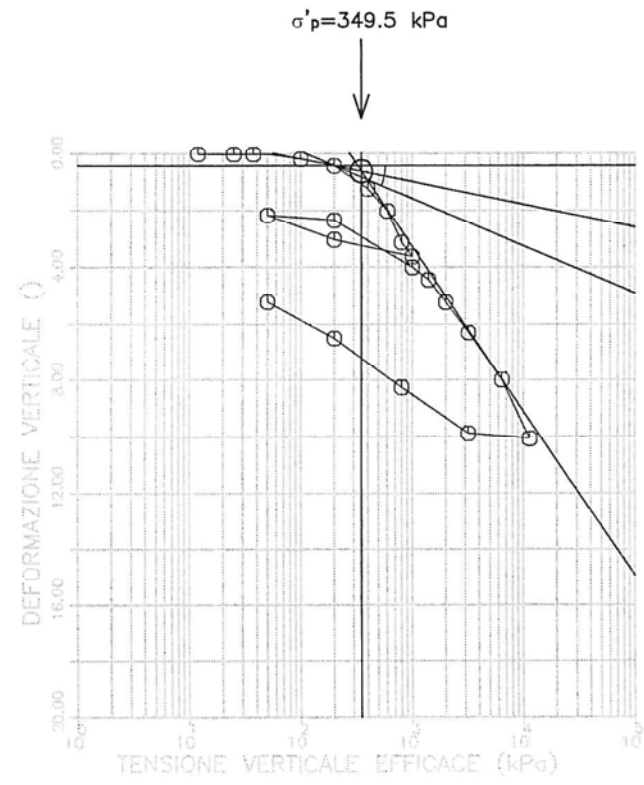
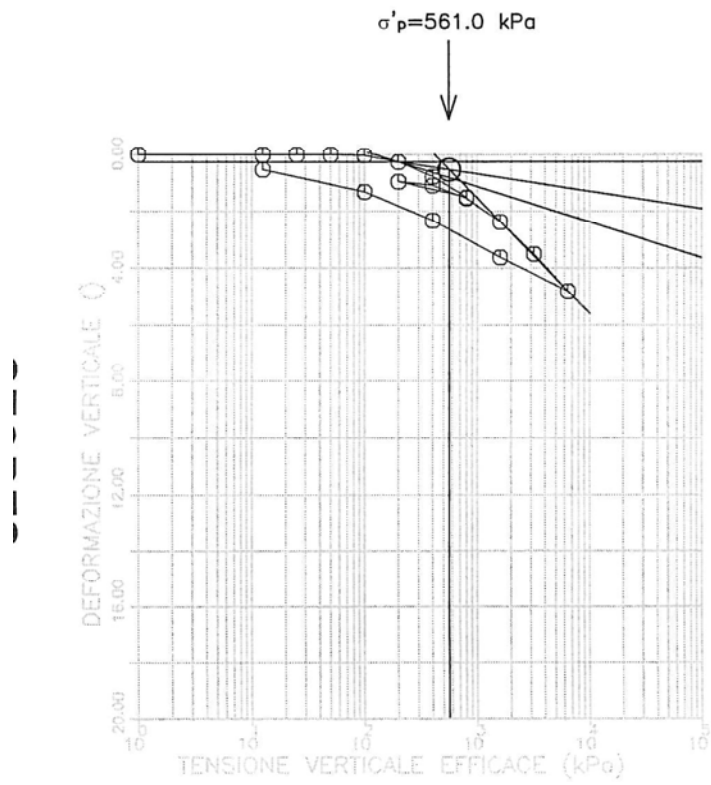


PROVE EDOMETRICHE: Determinazione di  $\sigma'_p$

Figura 6.24

(SPE26-01) - camp. 5 - UNITA' 7

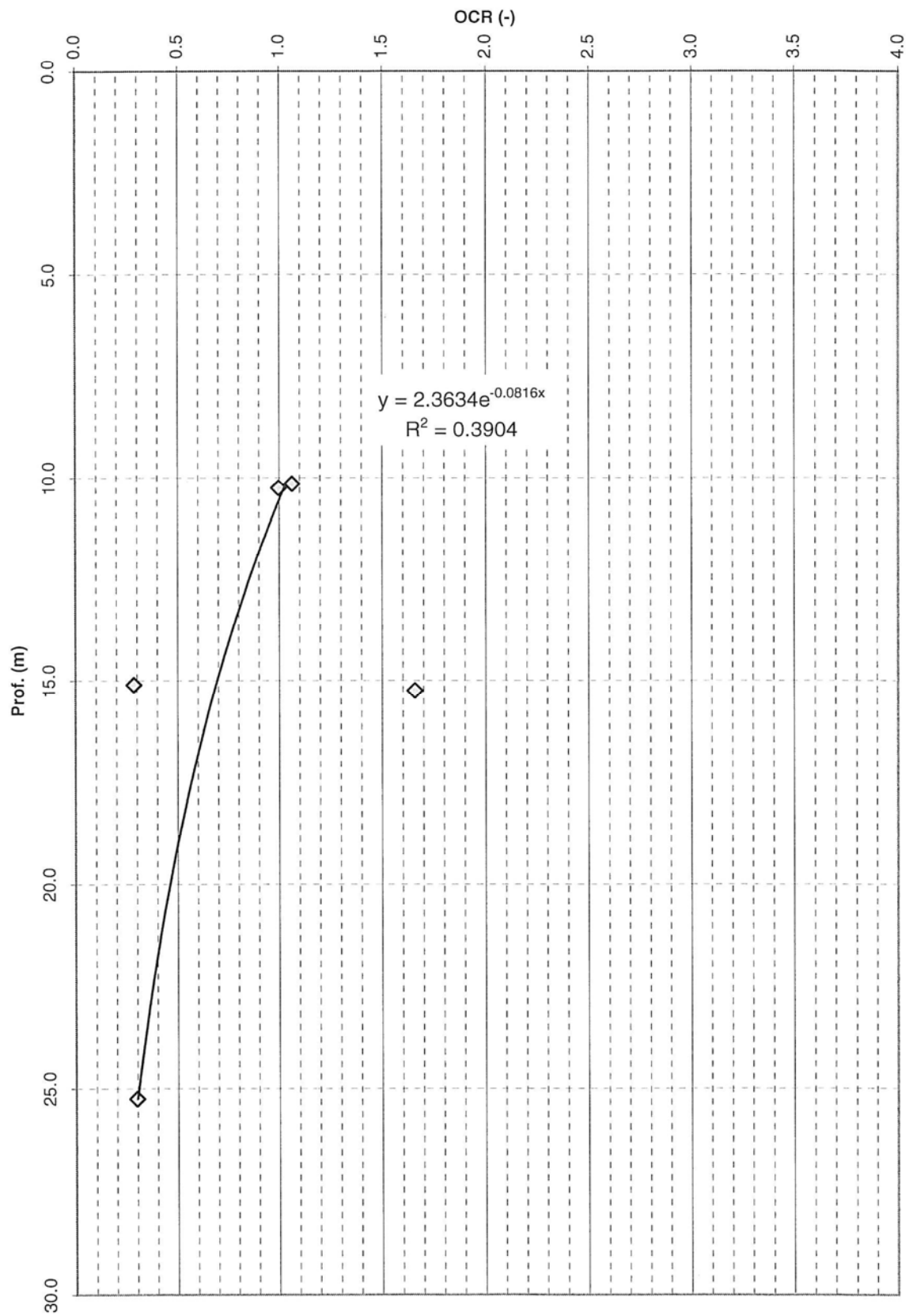
(SPE26-02) - camp. 4 - UNITA' 7



# PROVE EDOMETRICHE: A GRADINI DI CARICO

Andamento OCR vs profondità – Unità 6

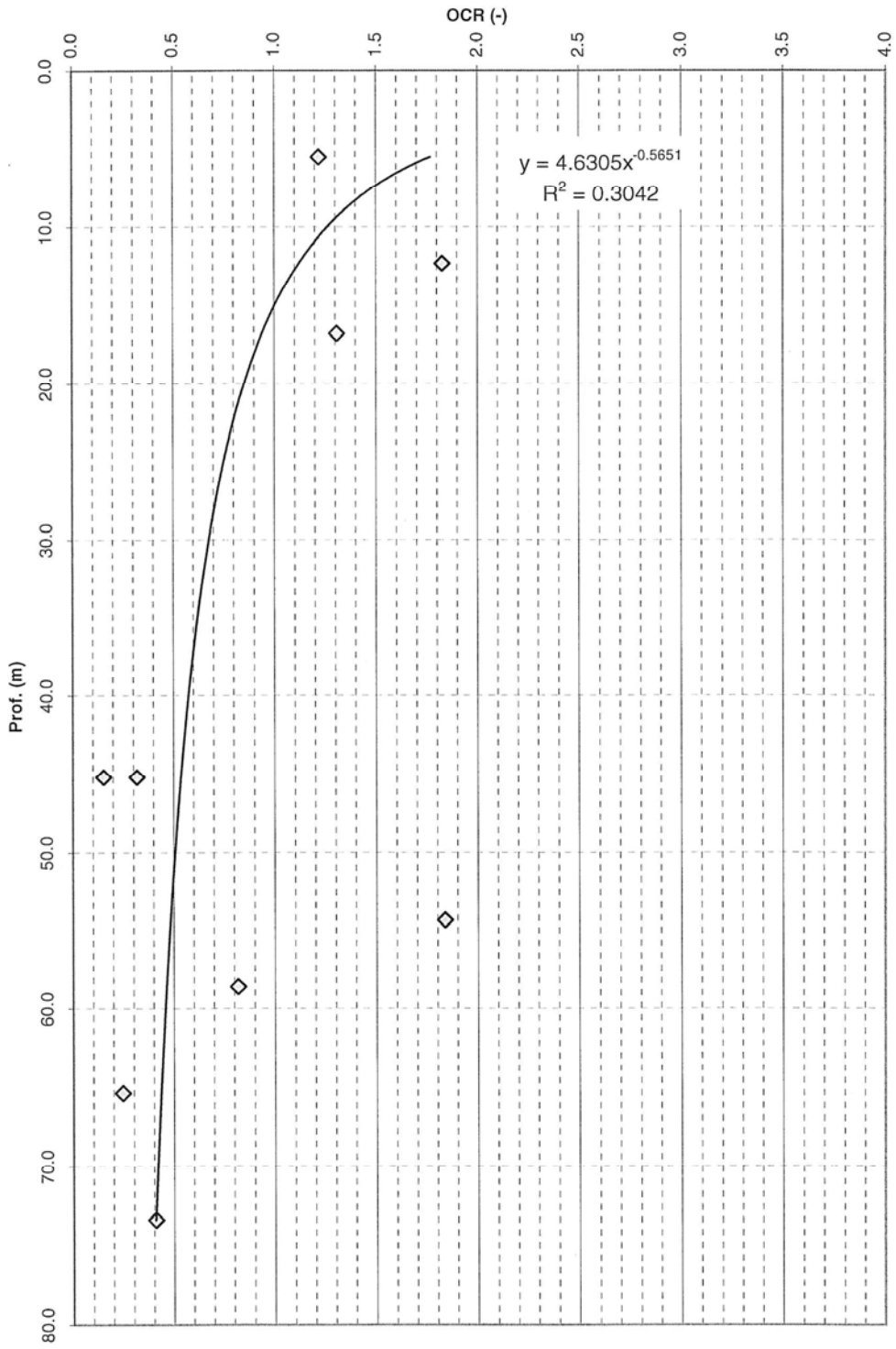
Figura 6.25



PROVE EDOMETRICHE: A GRADINI DI CARICO

Andamento OCR vs profondità – Unità 7

Figura 6.26



# PROVE EDOMETRICHE: A GRADINI DI CARICO

Andamento OCR vs profondità – Unità 7

Figura 6.27

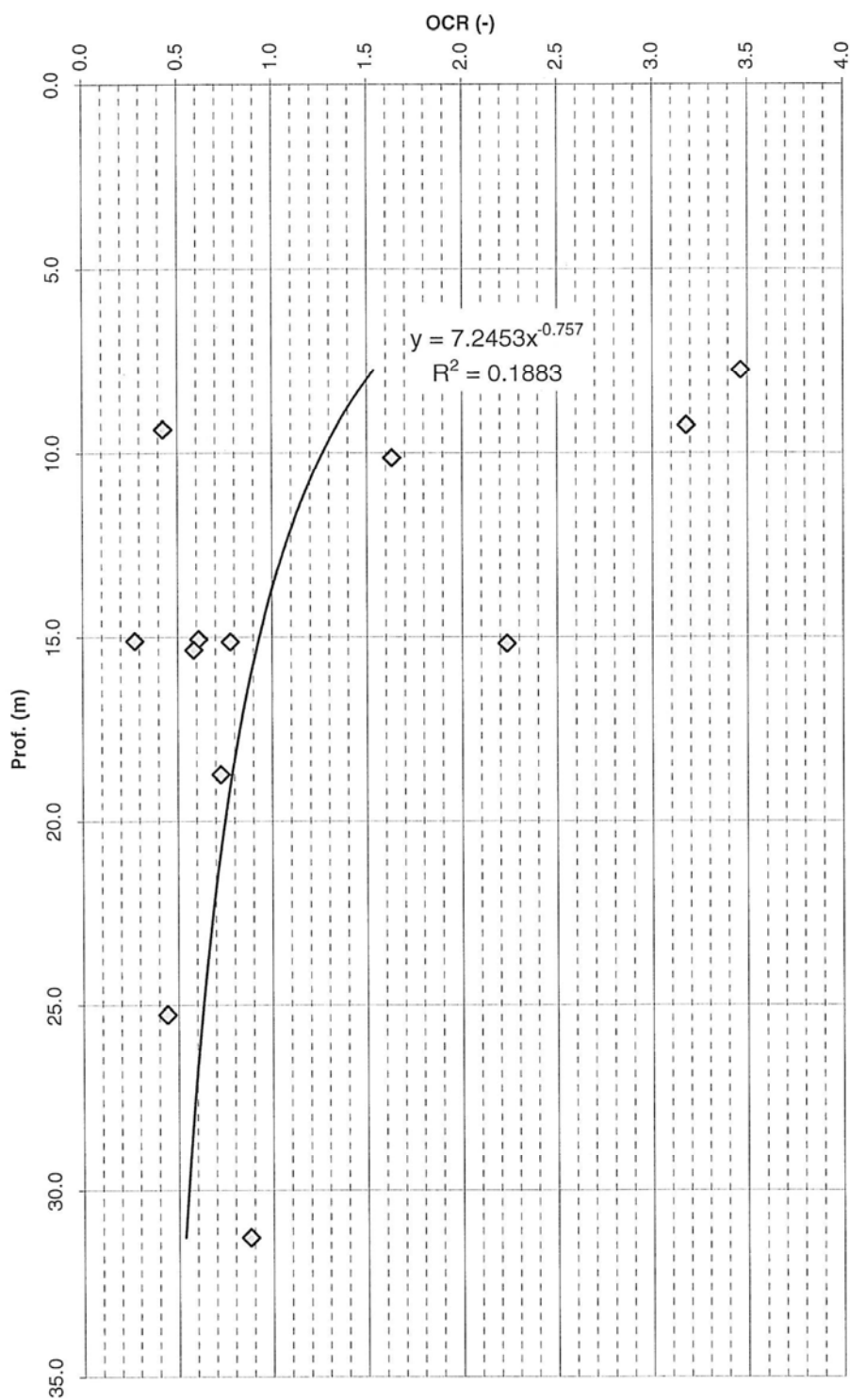


DIAGRAMMA DI ATTIVITA' DELLE ARGILLE (Skempton, 1953)

Sintesi campagne di indagine – unità 7

Figura 6.28

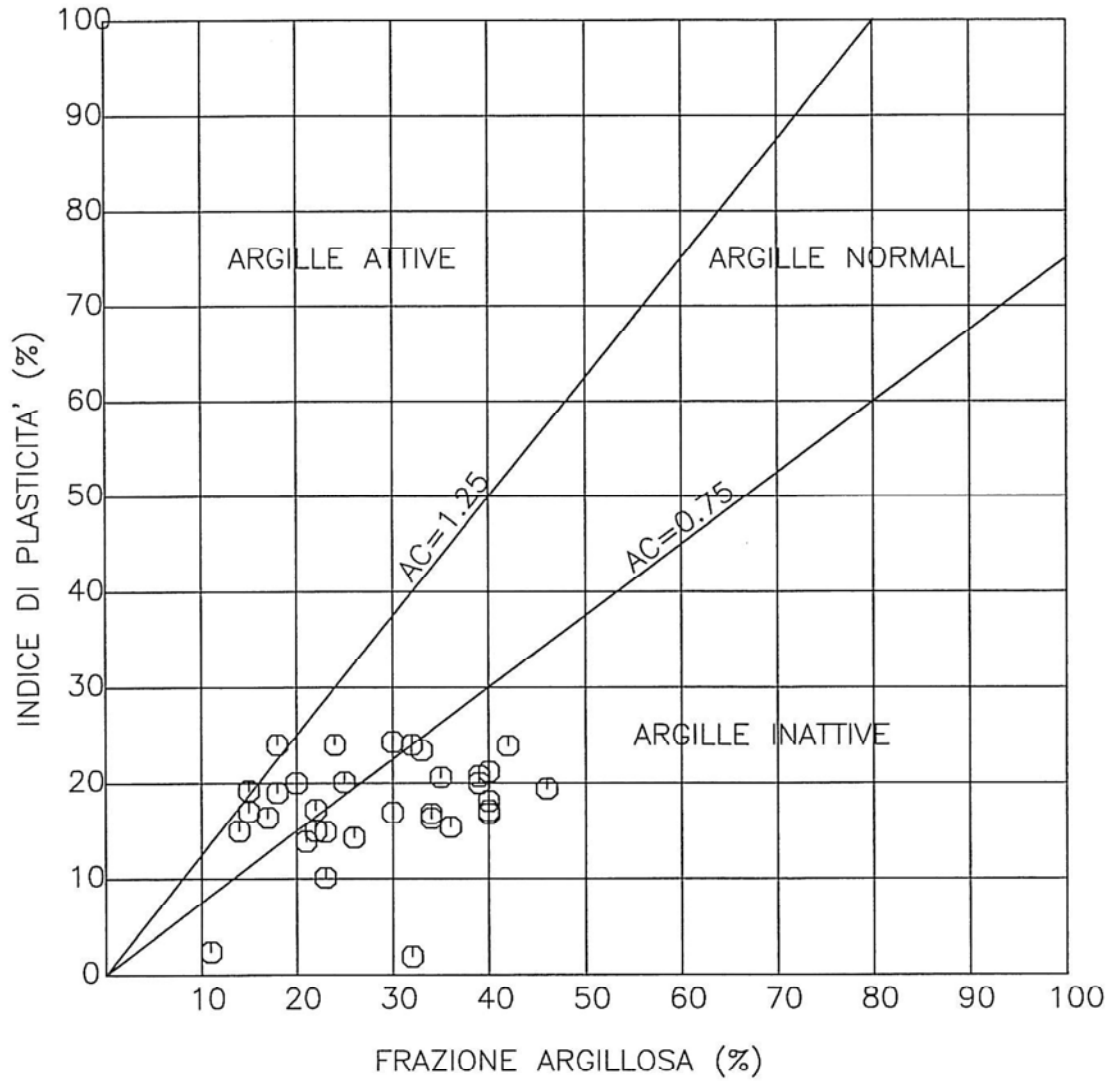


DIAGRAMMA DI ATTIVITA' DELLE ARGILLE (Skempton, 1953)

Sintesi campagne di indagine – unità 7

Figura 6.29

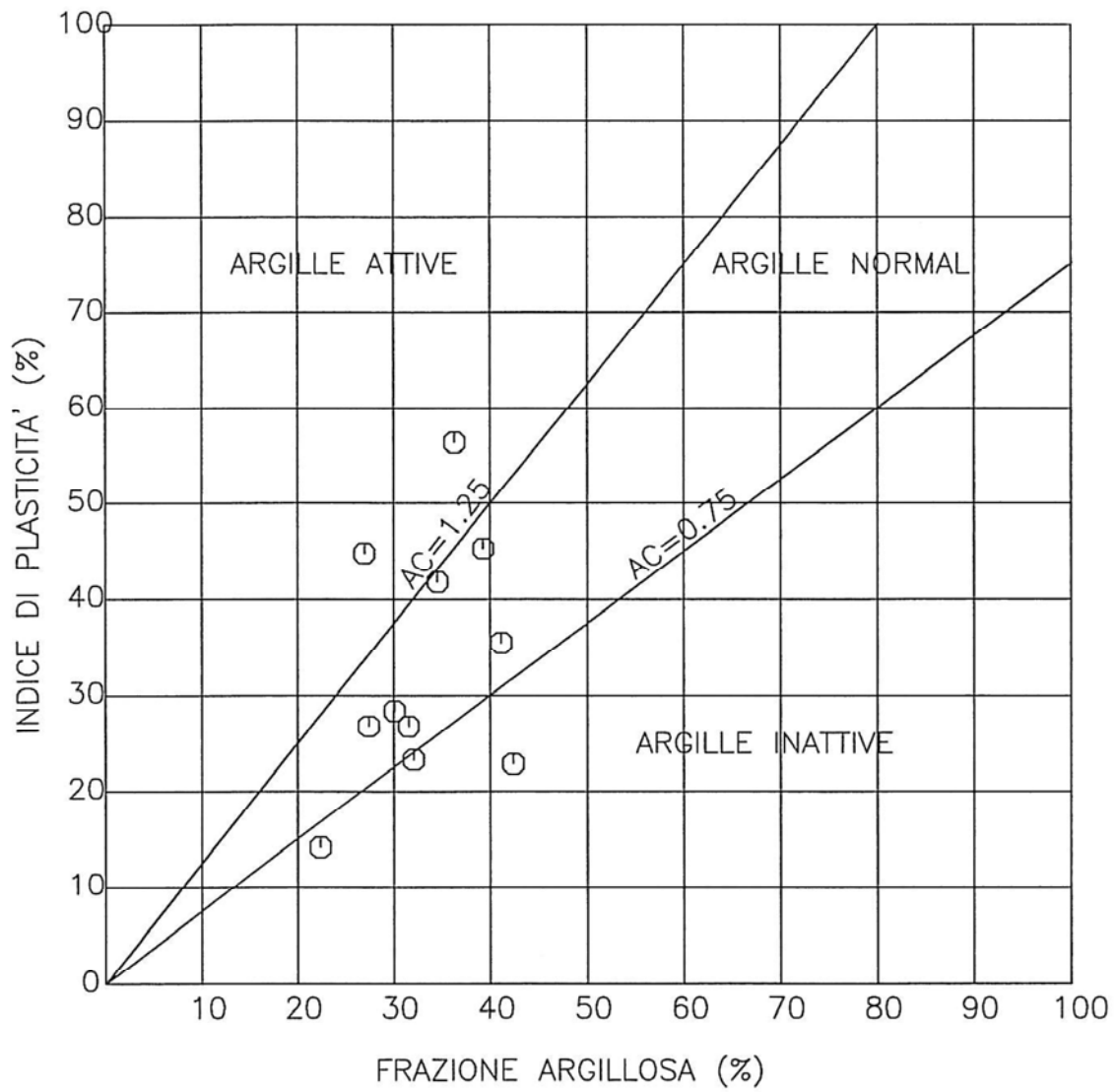


Figura 6.30

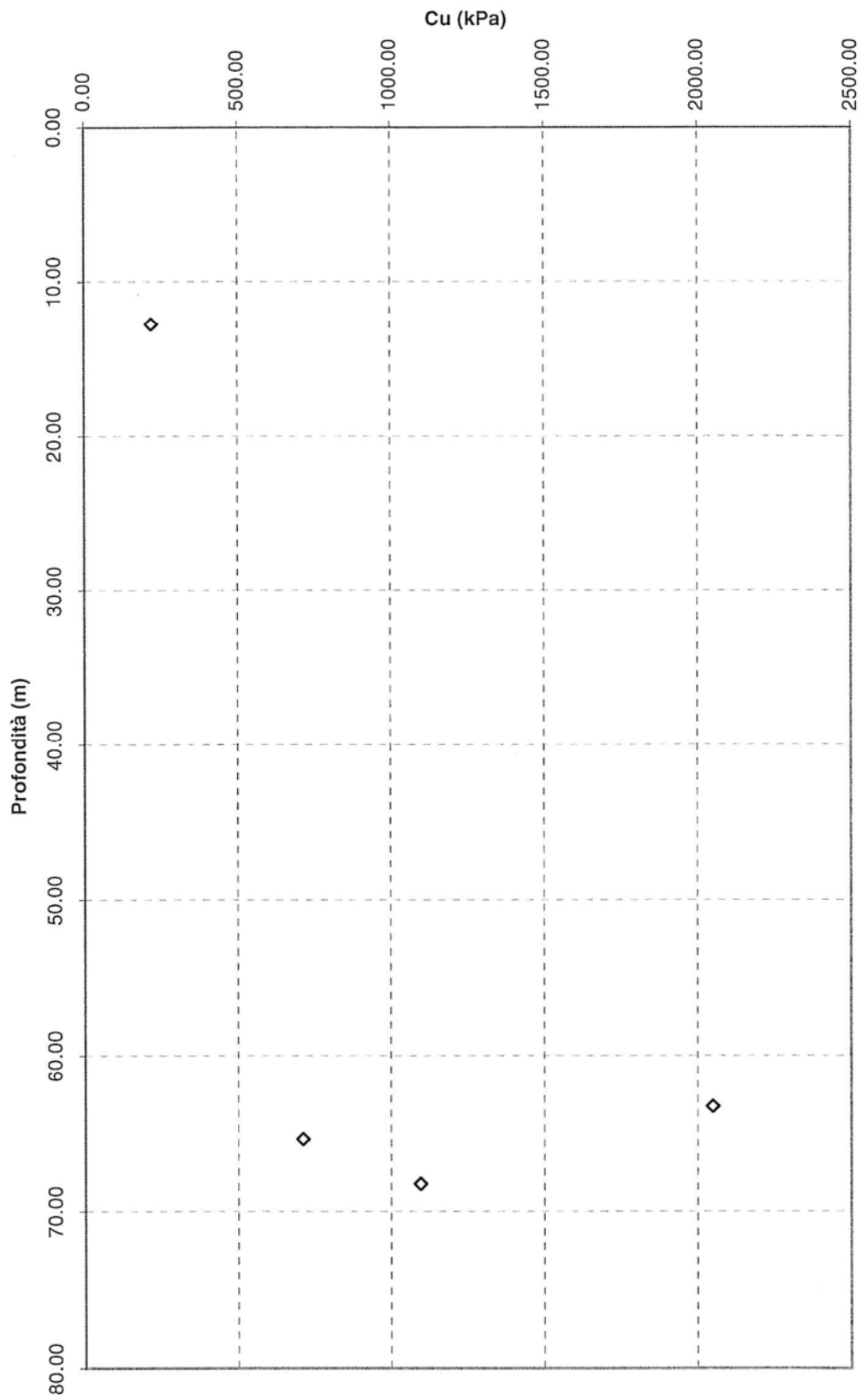
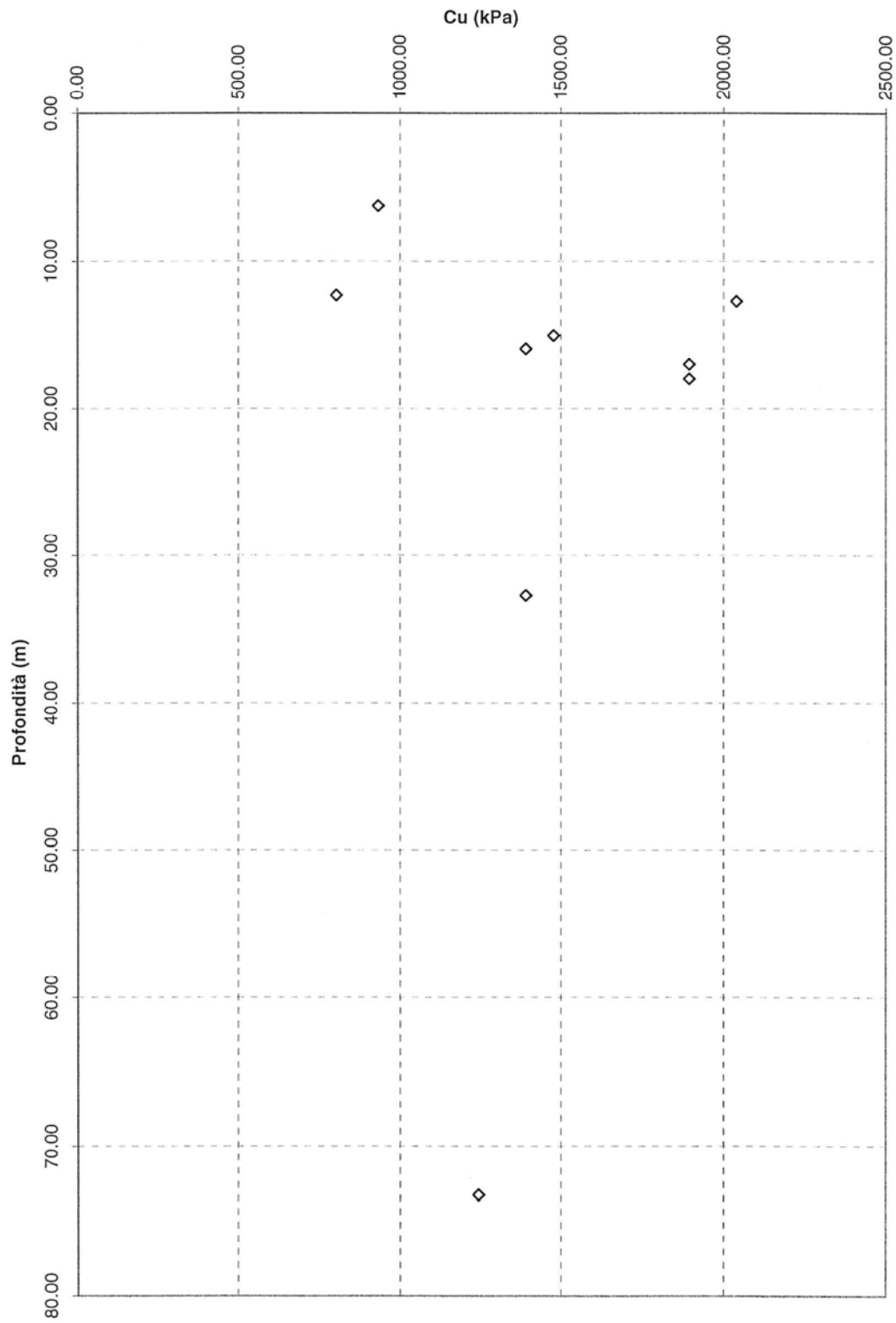


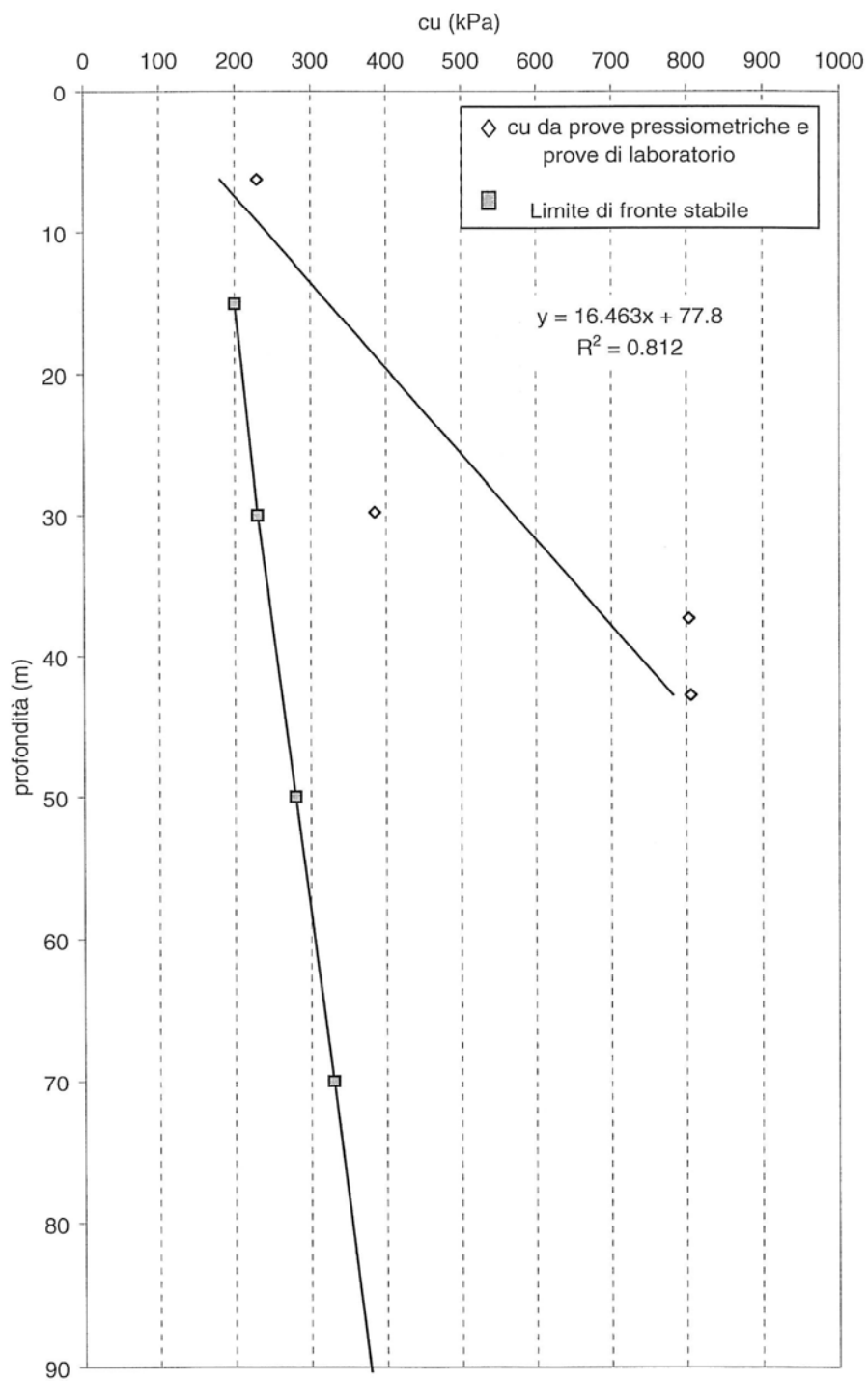
Figura 6.31



# PROVE PRESSIOMETRICHE

Variazione resistenza al taglio non drenata  $c_u$  vs profondità - gessi

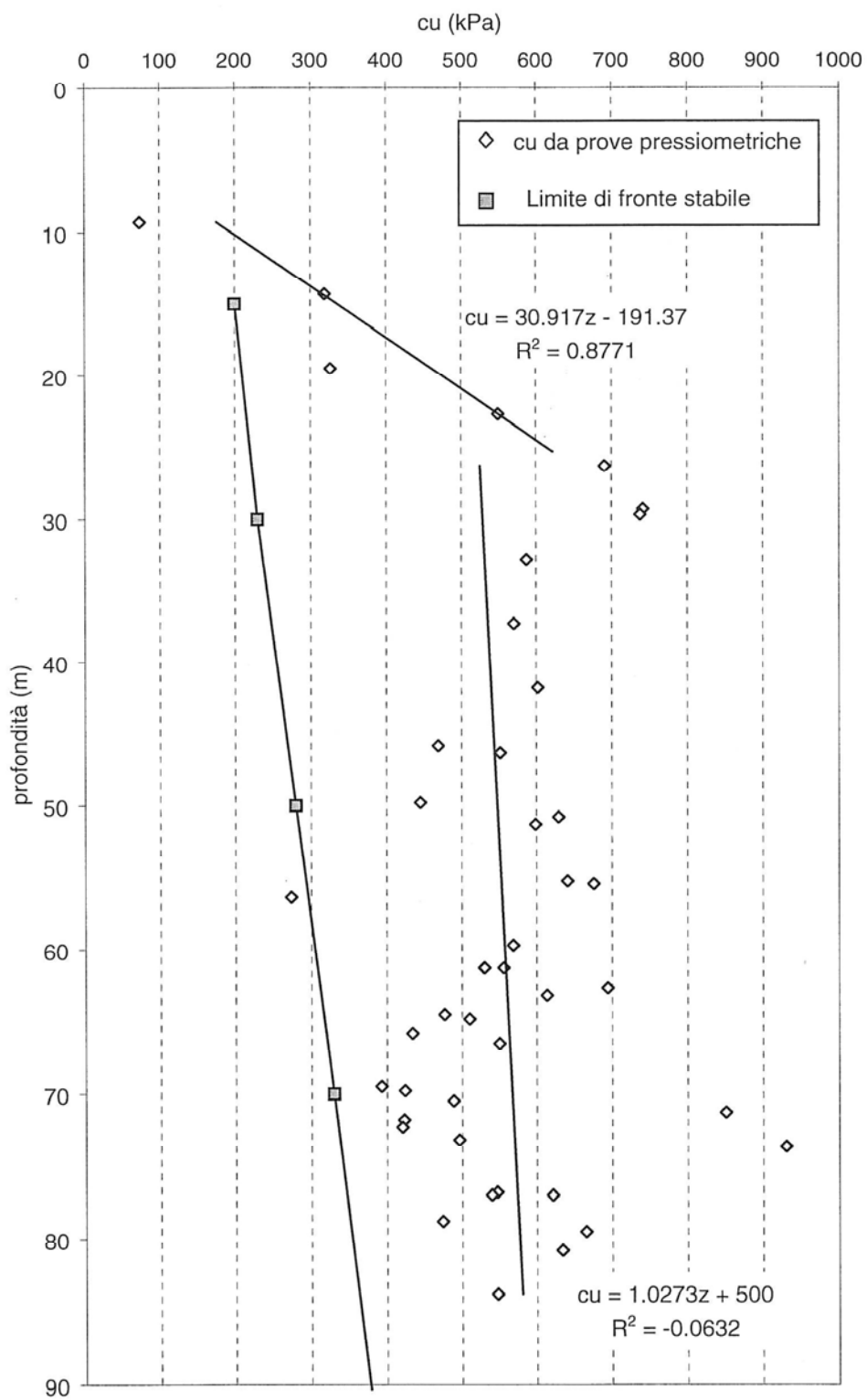
Figura 6.33



# PROVE PRESSIOMETRICHE

Variazione resistenza al taglio non drenata  $c_u$  vs profondità – argille marnose

Figura 6.34



# PROVE PRESSIOMETRICHE

Variazione resistenza al taglio non drenata  $c_u$  vs profondità – argille marnose

(Suddivisione secondo progressiva)

Figura 6.35

